

UDC 533.6.08: 551.55:  
(521).71) : 629.73.015

# 航空宇宙技術研究所報告

TECHNICAL REPORT OF NATIONAL AEROSPACE LABORATORY

TR-180

鈴鹿山脈付近における乱気流の観測

竹内和之・小野幸一・山根皓三郎

岡遠一・外崎得雄

1969年8月

航空宇宙技術研究所  
NATIONAL AEROSPACE LABORATORY

# 鈴鹿山脈付近における乱気流の観測\*

竹内和之\*\*・小野幸一\*\*・山根皓三郎\*\*  
岡遠一\*\*\*・外崎得雄\*\*

## Measurement and Analysis of Atmospheric Turbulence over the SUZUKA Mountain Range

Kazuyuki TAKEUCHI, Koichi ONO, Kosaburo YAMANE,  
Toichi OKA and Tokuo SOTOZAKI

Measurements on atmospheric turbulence were made on air route GREEN 4 over the SUZUKA Mountains, which was thought to be comparatively gusty among domestic air routes.

The experiment was carried out in cooperation with Meteorological Research Institute, but this report was concerned only with measurements made by airplane.

A tape recorder with fourteen tracks was used to record normal and horizontal accelerations and angular velocities at C.G. to give the airplane attitude, as well as the airspeed and the wind directions measured by flow vanes attached to the nose and wing tip. The wind direction was used to obtain the turbulence velocities. Temperature, altitude, and displacements of the control surfaces were also recorded.

The data were analyzed to obtain the turbulence spectrum and the relationship between the measured items including temperature.

### 1. はじめに

航空機が高速化し、また大型で撓みやすい構造になってきたことによって、航空機の設計あるいは運航に関して、乱気流に対する考慮をより精密に行なうことが要求されるようになってきた。

大気の乱れの原因となるものは、対流、風のシャー、あるいは地形によって誘起される波動、地面との摩擦等が考えられ、理論的な解析も行なわれているが、わが国では実際に計測された資料は少ない<sup>①,②</sup>。気象庁気象研究所では、昭和41年度から航空機の航空安全におよぼす地形性乱気流の観測計画を立て、すでに富士山麓ではその観測が行なわれてきたが、昭和42年度には、国内航空路のうちで比較的乱気流が強いと言われている鈴鹿山脈を横断する航空路Green-4について、乱気流の観測を行なうこととなり、航空機を用いた観測を航空宇宙技術研究所が担当することになった。

この報告は、航空機による観測を主とした、航空路 Green-4 付近の地形性乱気流の観測結果である。

### 2. 観測概要

図1に示す航空路 Green-4 の鈴鹿山脈を横ぎる付近について、西風が比較的強い2月下旬(昭和43年)に、気球による気象および乱気流の観測(気象研究所担当)と航空機による乱気流の観測(航空宇宙技術研究所担当)を平行して行なった。

気球による乱気流の観測は、乱気流によって変動する気球の運動を追跡して、逆に乱気流の方向、大きさ、波長等を求めるもので、乱気流の比較的長い波長成分を観測するのに適しており、これに対して、航空機による観測は、比較的短い波長の乱気流成分を観測するのに適している、と考えられる。

### 3. 気球による観測

気球は、つぎに示す3種のものを滋賀県水口町より放球し、三重県四日市市(四日市測候所)より観測した。詳細は文献9)を参照されたい。

(1) スーパープレッシャー気球<sup>③</sup>(定容積気球)

\* 昭和44年6月20日受付

\*\* 機体第一部

\*\*\* 飛行実験部

1 回の飛行中に、高度 2,000m 用と 3,000m 用各 1 個を放球し、飛跡を追尾解析すると共に、装着した精密気圧ゾンデの資料とあわせて、高度 2,000m、および 3,000m 付近における水平および鉛直方向風速と、風向の水平分布を計測した。

#### (2) レーウィンゾンデおよびパイバル気球観測

期間中毎日 8 時の定時観測と、航空機観測後 1 回の臨時観測を行ない、高度 7,000m までの水平風向風速および気温、湿度の鉛直分布を計測した。

### 4. 航空機による乱気流観測

#### 4.1 航空機および飛行径路

観測に使用した航空機は、航空宇宙技術研究所所属の実験機（クインエア 65 型、操縦士 2 名、計測員 2 名、計測機材約 260 kg、主要諸元は表 1 に示す）で、名古屋空港（小牧）を基地とし、航空路 Green 4 上に図 1 に示すような check point 1～4 を定め、その間の乱気流を連続観測した。観測中は水平定常飛行（速度 130 kt (241 km/h) IAS）とし、表 2 に示すように、1 回の飛行中（Flt. No. で示す）に飛行高度を変えて 3 往復（コース No. で示す）した。

#### 4.2 観測項目および器材

観測項目は機体の迎え角、横たり角、上下および左右の加速度、重心回りの角速度（縦揺れ、横揺れ、偏揺れ）、補助翼、方向舵、昇降舵の舵角、高度、速度、温度の 13 項目であるが、これに check point の通過等必要事項の音声記録を含めて、計 14 項目を磁気記録機に連続記録した。このブロック図を図 2 に示す。

迎え角および横たり角は、図 3 に示すポテンショメータ型ペーンを用い、これを機首（図 4 参照）および右翼端につけたブームの先端にそれぞれ取付けて計測した。

機体の加速度（上下および左右方向）は、機体のはば重心位置に、図 5 に示すひずみゲージ型加速度計をフェルトの緩衝材を介して取付けて計測した。

機体の角速度は 3 軸用レートジャイロによって、飛行高度、飛行速度は機体のピート管より計測した。

舵角は、3 舵共、図 6 に示すように、操縦索の動きによってスプリングを介して片持ちのアルミ板に曲げを与える、この曲げひずみをひずみゲージで検出して計測した。

温度は気象研究所で開発された抵抗線温度計（図 7 参照）を図 8 に示すように操縦席横の胴体側面に取付けて計測した。

図 9 に直流増幅器を、図 10 に機体内部の機器配置を示し、表 3 に各機器の総合感度を示す。

このようにして磁気記録機に記録した資料を再生したものの中の代表的なものとして、Flt No. 3 のコース No. 3 および No. 4 のすべての観測項目の連続記録したものと図 11、図 12 に示す。

### 5. 観測結果

#### 5.1 パワースペクトル法による航空機観測資料の解析とその結果

航空機の飛行径路上の乱気流分布を測定するには、航空機が乱気流中でも完全に水平定常飛行をしているならば、機体の迎え角および横たり角の変化 ( $\alpha$  および  $\beta$ ) と、飛行速度  $U$  から、乱気流速度の上下成分  $w_g$  と左右成分  $v_g$  を ( $w_g = U\alpha$ ,  $v_g = U\beta$  として) ただちに求めることができる。しかし、乱気流あるいは操縦によって機体の姿勢が変化するので、その補正をしなければならない。

航空機の水平速度  $U$  は一定 (130 kt) で、機体は乱気流速度の上下成分に対しては上下移動および縦揺れ運動のみを生じ、乱気流速度の左右成分に対しては横たりおよび横揺れ運動のみを生ずると仮定すれば、乱気流速度の上下、左右成分  $w_g$ ,  $v_g$  は、機体の運動による補正項を付け加えて、(1), (2) 式<sup>2), 7)</sup> で表わされる（図 13）。

$$w_g = U\alpha - U \int q dt + l_1 q - \int a_z dt \quad (1)$$

$$v_g = U\beta + U \int r dt - l_2 r - \int a_y dt - g \iint p dt dt \quad (2)$$

ただし、

$p, q, r$ : それぞれ機体の重心回りの横揺れ、縦揺れおよび偏揺れ角速度

$a_z, a_y$ : それぞれ機体の上下および左右方向加速度

$l_1, l_2$ : それぞれ迎え角計、横たり角計の機体重心位置からの距離（図 13 参照）

$g$ : 重力の加速度

このようにして求めた  $w_g$  および  $v_g$  の周波数特性および、これらと機体の迎え角、横たり角、上下加速度、左右加速度との関連性を求めるためにクロススペクトル計算を行ない、これらのパワースペクトル  $P_{xz}(f)$  ( $f$  は周波数)，クロススペクトル  $P_{yz}(f)$ ，周波数応答関数  $A(f)$ ，関連度（コヒーレンシイ） $r^2$

( $f$ ), 相対誤差  $R(f)$  を求めた。(計算の詳細は付録参照)

ここに、入力  $x$  および出力  $y$  は,  $w_g$ ,  $v_g$ ,  $\alpha$ ,  $\beta$ ,  $a_z$ ,  $a_y$  の組み合わせとして表 4 に示す。

計算は非常に手数がかかるので、観測資料の代表的な小部分について行なった。計算結果の一例を図 14～図 18 に示す(使用計算機は HITAC 5020)。図 14 図 15 は Flt No. 3-4 (Flt No. 3 のコース No. 4) の一部分(表 4 の計算場所 (1) で示す)の、図 16, 図 17 は同じ Flt No. 3-4 の他の部分(表 4 の計算場所 (2) で示す)の計算結果であり、図 18 は前 2 者とほぼ同じ部分(全く同じ部分ではない)の  $w_g$ ,  $v_g$  についての結果である。

これらの計算結果から、つぎのようなことがわかる。

(1) 乱気流速度の上下成分  $w_g$  のパワースペクトル  $P_{w_g w_g}(f)$ 、および左右成分  $v_g$  のパワースペクトル  $P_{v_g v_g}(f)$  は、若干の凹凸はあるが(図 14～図 18)，大略  $f^{-5/3}$  に比例して減少している(図中の一点鎖線は  $f^{-5/3}$  に相当する傾斜を示す)。これは、1,800m 程度の低高度(山頂高約 500m)においても一般に認められている Kolmogoroff<sup>6)</sup> の  $-5/3$  乗説に一致することを示している。

(2) 乱気流速度の上下成分  $w_g$  と左右成分  $v_g$  は、地形(山頂高約 500m)の影響を比較的受けやすい低い高度(約 1,800m)においても、両者のパワーにあまり大きな差がなく(図 18)，また、関連度  $\gamma^2(f)$  は全周波数帯域にわたって非常に低い。

(3) 乱気流速度の上下成分  $w_g$  と迎え角計の指示  $\alpha$  から求めた上下速度との関連性(図 14, 図 16)は周波数応答関数  $A(f)$  はほぼ平坦で 1 に近く、関連度  $\gamma^2(f)$  は、少なくとも 5～6 c/s 程度までは十分高く、相対誤差  $R(f)$  も小さい。このことから、 $w_g$  を評価する場合に、(1) 式の計算を行なわなくとも、 $w_g(t)=U\alpha(t)$  によって相当正しく(5 c/s 以下の乱気流に対して)  $w_g$  を評価できることを示している。

(4) 乱気流速度の上下成分  $w_g$  と機体の上下加速度  $a_z$  との関連性(図 14, 図 16)は、 $A(f)$  は 3 c/s 以下では 1 に比較的近いが、前述の  $w_g-\alpha$  に比べると悪く、また、 $\gamma^2(f)$  も低い。

(5) 乱気流速度の左右成分  $v_g$  と、横辺り角計の指示  $\beta$ (図 15, 図 17) は、 $A(f)$  はほぼ平坦で 1 に近く 10 c/s 付近まで  $\gamma^2(f)$  は高く、相対誤差  $R(f)$  は低い。すなわち、 $v_g(t)=U\beta(t)$  によって相当正しく  $v_g$  を評価できることを示している。

(6) 乱気流速度の左右成分  $v_g$  と、機体の左右加速度  $a_y$ (図 15, 図 17) については、関連度  $\gamma^2(f)$  はほとんど 0 に近く、相対誤差も大きいので、 $v_g$  を評価するのに  $a_y$  を用いることは適当ではない。

以上は、測定した資料の代表的な小部分についての解析であるが、これらのことから、今回の観測資料を解析するにあたって、乱気流速度の上下成分に対しては迎え角計の指示  $\alpha$  を、左右成分に対しては横辺り角計の指示  $\beta$  をそのまま用いても十分に信頼しうる資料となりうることが確認された。

### 5.2 観測当日の風速、気温等

観測は表 2 に示す 4 日間にわたり、1 日 2～3 時間の飛行によって行なわれた。当日の風速を図 19 に示す。航空機による観測値(○印)は、check point 間の通過に要した時間と、航空機の対気速度から求めたもので、Green 4 に沿った方向(約 290°)の風速成分を示すものである。9 時に放球したレーウィンゾンデの観測値(・印)とよい対応を示している。

観測飛行中の温度を、1 つのコースを飛行中の温度変動幅と共に図 20 に示す。雲の状態は、Flt No. 1 と No. 2 の両日がほぼ同様で、図 21 に示すように、コース上ではほぼ同様であったが、Flt. No. 3 では鈴鹿山脈の西に一面の雲があり、鈴鹿山脈の東では全く雲がない晴天(図 22, 図 23)であった。

これらの天候状態をまとめて表 5 に示す。

### 5.3 乱気流の強さの観測結果

航空機での観測中の短波長乱気流(航空機に上下加速度として感じる約 200m 以下の波長の乱気流)の存在、および長波長乱気流(航空機の飛行を水平高度に保つためのエンジンパワーコントロールの程度から判断したもので約 100m 以上の波長の乱気流と考えられるものの)の存在の概略は、表 5 に示すとおりである。

表 5 を見ると長波長乱気流の存在は、とくに Flt No. 2 において経験されたが、この日は風速および wind shear が他に比べて大きい日であった。これは米国での実測例<sup>3)</sup>の条件\*に合っている。波長が短く、山頂の影響で生じたと見られる乱気流は、Flt No. 3 で経験されたが、この日は、1 コース中での温度変動が大きく、lapse rate も若干他と比べて大きい日であ

\* 米国の実測例で特にひどい亂れが認められたのは、(1) 山頂近くの高度の風速が 15 m/s 以上のとき (2) 風向が山の稜線にほぼ直角であるとき、(3) wind shear が山頂近くで 4 m/s/km であるとき。であったと述べている。

ったが、風はほとんどない日であった。

つぎに、各々の飛行径路中での場所による乱気流の強さの分布を少し詳細に調べるために、横辺り角計の指示  $\beta$  に対して整理したものの一例を図 24 に示す。(5.1 節に示したように、 $\beta$  は乱気流速度の左右成分  $v_g$  にはほぼ 1 対 1 で対応する。)

図 24 は、Flt No. 1 および Flt. No. 3 の各コースについて  $\beta$  の値を 1/100 秒ごとに読みとり、その 10 秒間ごとの二乗平均値平方根(RMS 値)  $\sigma_L$  を、そのコース全体の RMS 値  $\sigma$  で正準化して示したものである。この図から Flt No. 3 においては、2 km 以下の高度では明らかに山頂の影響が見られるが、Flt No. 1 では、山頂の影響は表われていない。(図 24 には示さなかったが、Flt No. 2 および Flt No. 4 は共に Flt No. 1 と同様に山頂の影響は認められなかつた。) また、この図には、温度の変化が急激に 5°C 以上変化した場所も同時に示している。(温度変動が幅 10 秒以下の台形のものを pulse 状変化と呼び、10 秒以上の台形あるいは階段状のものを step 状の変化として区別して示している。) この温度の変動が乱気流の存在とどのような関連性があるかは、図 24 からは判然としない。

温度変動の生のデータの例として Flt No. 3-3 と 3-4 の場合を、他の観測項目と共に、図 11、図 12 において見ることができる。check point 3 の山頂の少し東側の位置で大きな上下加速度  $a_z$  が間けつ的に生じ、同時に温度変動も比較的大きなものが生じている。しかし、温度の変動と上下加速度の変動の間に、関連性がある場合もあり、あまり関連性がない場合もあるようである。

以上のような温度を含めた各計測値間の関連性を全体的に眺めるために、図 24 をかく際に用いたと同様の手法を用いて、お互いの相関係数を計算した結果が図 25 である。すなわち、乱気流速度の上下、左右、前後の成分にそれぞれ相当すると考えられる、 $\alpha$ ,  $\beta$ ,  $u$  (ピトー管によって測定された速度変動) および  $a_z$ ,  $a_y$ 、さらに温度  $T$  の 6 項目について、各データを 1/100 秒ごとに読みとり、その 10 秒間の 2 乗平均値平行根  $\sigma_L$  の相互間の相関係数を計算した。 $a_z$  の温度  $T$  以外の項目に対する相関係数は(図 25 の上図)，4.3 節の詳細な解析と同様に相当大きいことが認められる。温度  $T$  に対する他の 5 項目の相関係数(図 25 の下図)を見ると、Fit No. 3-1 および 3-2 以外では若干の関連性が認められ、とくに Flt No. 3-3 で

は相当明瞭な関連性が認められる。Flt No. 3-1 および 3-2 では、ほとんど乱気流の存在がないような状態であったのに比べ、Flt No. 3-3 ではもっとも強い乱気流が存在した状態であったことと考え合わせると、大きな乱気流が存在するような状態では、温度変動と乱気流の存在との間には、かなり大きな関連性があると考えてよいのかもしれない。

## 6. ま と め

航空機を用いて、比較的乱気流によく遭遇すると言わわれている航空路 Green 4 の鈴鹿山脈付近の乱気流を 4 日間にわたって観測した。観測日数も少なく、また、強い乱気流が存在する好適な天候に必ずしも恵まれなかつたので一般的な結論とはなりえないが、えられた結果を列記すると、

(1) 乱気流速度の上下および左右成分のパワースペクトルは、大略  $f^{-5/3}$  ( $f$ : 周波数) に比例して減少することが認められた。

(2) 乱気流速度の上下成分と左右成分は、そのパワーはほぼ 1 対 1 に対応しているが、それらの間に関連性は認められない。

(3) 長波長乱気流の存在は、風速および wind shear が大きい時に認められた。

(4) 短波長乱気流の存在する場合に、相当急激な温度変動を経験した。また、温度変動と乱気流の存在との間には、何らかの関係があることが認められた。

乱気流の研究は、航空機にとって重要であり、今後とも適切な観測が行なわれ、乱気流の本質を追求すると共に、航空機運航に際する乱気流の予告法等が確立されることを期待する。

## 7. む す び

この研究には、終始気象研究所の各位(大田正次\*, 相馬清二\*\*氏等)および荒木浩\*\*\*部長の御指導をいただいた。航空機操縦担当の後藤芳夫\*\*\*\*課長、照井祐之\*\*\*\*技官には、実験上にも種々の適切な助言をいただいた。また、名古屋空港の航空測候所(牛山卯太郎所長)空港事務所(西村正美空港長)の方々には、一方ならぬお世話をいただいた。各位に厚くお礼申し上げる次第である。

\* 気象研究所物理気象研究部長

\*\* 気象研究所物理気象研究部第一研究室長

\*\*\* 機体第一部

\*\*\*\* 飛行実験部

## 付録 クロススペクトル計算手順

(1) 自己相関関数および相互相関関数を求める。

入力  $x$  の自己相関関数

$$C_{xx}(l\Delta t) = \frac{1}{M} \sum_{n=1}^{M-l} \tilde{x}((l+n)\Delta t) \cdot \tilde{x}(n\Delta t)$$

$$l=0, 1, 2, \dots, h$$

出力  $y$  の自己相関関数

$$C_{yy}(l\Delta t) = \frac{1}{M} \sum_{n=1}^{M-l} \tilde{y}((l+n)\Delta t) \cdot \tilde{y}(n\Delta t)$$

$$l=0, 1, 2, \dots, h$$

 $x, y$  の相互相関関数

$$C_{yx}(l\Delta t) = \frac{1}{M} \sum_{n=1}^{M-l} \tilde{y}((l+n)\Delta t) \cdot \tilde{x}(n\Delta t) \quad (l \geq 0)$$

$$= \frac{1}{M} \sum_{n=-l+1}^M \tilde{y}((l+n)\Delta t) \cdot \tilde{x}(n\Delta t)$$

$$(l < 0)$$

$$l = -h, h+1, \dots, -1, 0, 1, \dots, h-1,$$

$$h+1, \dots, h+H$$

ただし

$$\tilde{x}(n\Delta t) = x(n\Delta t) - \bar{x}$$

$$\bar{x} = \frac{1}{M} \sum_{n=1}^M x(n\Delta t)$$

$$\tilde{y}(n\Delta t) = y(n\Delta t) - \bar{y}$$

$$\bar{y} = \frac{1}{M} \sum_{n=1}^M y(n\Delta t)$$

(2) フーリエ変換を行なう。

$$P_{xx}\left(\frac{r}{h} \frac{1}{2\Delta t}\right) = \Delta t \left\{ C_{xx}(0) + 2 \sum_{l=1}^{h-1} C_{xx}(l\Delta t) \right.$$

$$\left. \times \cos\left(2\pi \frac{r}{2h} l\right) + (-1)^r \cdot C_{xx}(h\Delta t) \right\}$$

$$r=0, 1, 2, \dots, h$$

$$P_{yy}\left(\frac{r}{h} \frac{1}{2\Delta t}\right) = \Delta t \left\{ C_{yy}(0) + 2 \sum_{l=1}^{h-1} C_{yy}(l\Delta t) \right.$$

$$\left. \times \cos\left(2\pi \frac{r}{2h} l\right) + (-1)^r \cdot C_{yy}(h\Delta t) \right\}$$

$$r=0, 1, 2, \dots, h$$

$$P_{yx,k}\left(\frac{r}{h} \frac{1}{2\Delta t}\right) = \bar{C}_{yx,k}\left(\frac{r}{h} \frac{1}{2\Delta t}\right)$$

$$+ i\bar{S}_{yx,k}\left(\frac{r}{h} \frac{1}{2\Delta t}\right)$$

$$r=0, 1, 2, \dots, h$$

として

$$\bar{C}_{yx,k}\left(\frac{r}{h} \frac{1}{2\Delta t}\right) = \Delta t \left\{ C_{yx,k}^+(0) + 2 \sum_{l=1}^{h-1} C_{yx,k}^+(l\Delta t) \right.$$

$$\left. \times \cos\left(2\pi \frac{r}{2h} l\right) + (-1)^r C_{yx,k}^+(h\Delta t) \right\}$$

$$C_{yx,k}^+(l\Delta t) = \frac{1}{2} \{ C_{yx}((k+l)\Delta t) + C_{yx}((k-l)\Delta t) \}$$

$$\bar{S}_{yx,k}\left(\frac{r}{h} \frac{1}{2\Delta t}\right) = -\Delta t \left\{ 2 \sum_{l=1}^{h-1} C_{yx,k}^-(l\Delta t) \right.$$

$$\left. \times \sin\left(2\pi \frac{r}{2h} l\right) \right\}$$

$$C_{yx,k}^-(l\Delta t) = \frac{1}{2} \{ C_{yx}((k+l)\Delta t) - C_{yx}((k-l)\Delta t) \}$$

(3) WINDOW をかけてパワースペクトル、クロススペクトルを求める。

 $x$  のパワースペクトル

$$\hat{P}_{xx}\left(\frac{r}{h} \frac{1}{2\Delta t}\right) = \sum_{n=-j}^j a_n P_{xx}\left(\frac{r-n}{h} \frac{1}{2\Delta t}\right)$$

$$r=0, 1, 2, \dots, h$$

ただし

$$P_{xx}\left(\frac{-r}{h} \frac{1}{2\Delta t}\right) = P_{xx}\left(\frac{r}{h} \frac{1}{2\Delta t}\right)$$

$$P_{xx}\left(\frac{h+r}{h} \frac{1}{2\Delta t}\right) = P_{xx}\left(\frac{h-r}{h} \frac{1}{2\Delta t}\right)$$

 $y$  のパワースペクトル

$$\hat{P}_{yy}\left(\frac{r}{h} \frac{1}{2\Delta t}\right) = \sum_{n=-j}^j a_n P_{yy}\left(\frac{r-n}{h} \frac{1}{2\Delta t}\right)$$

$$r=0, 1, 2, \dots, h$$

ただし

$$P_{yy}\left(\frac{-r}{h} \frac{1}{2\Delta t}\right) = P_{xx}\left(\frac{r}{h} \frac{1}{2\Delta t}\right)$$

$$P_{yy}\left(\frac{h+r}{h} \frac{1}{2\Delta t}\right) = P_{yy}\left(\frac{h-r}{h} \frac{1}{2\Delta t}\right)$$

 $x, y$  のクロススペクトル (位相未修正)

$$\hat{P}_{yx,k}\left(\frac{r}{h} \frac{1}{2\Delta t}\right) = \hat{C}_{yx,k}\left(\frac{r}{h} \frac{1}{2\Delta t}\right) + i\hat{S}_{yx,k}\left(\frac{r}{h} \frac{1}{2\Delta t}\right)$$

$$r=0, 1, 2, \dots, h$$

として

$$\hat{C}_{yx,k}\left(\frac{r}{h} \frac{1}{2\Delta t}\right) = \sum_{n=-j}^j a_n \bar{C}_{yx,k}\left(\frac{r-n}{h} \frac{1}{2\Delta t}\right)$$

ただし

$$\bar{C}_{yx,k}\left(\frac{-r}{h} \frac{1}{2\Delta t}\right) = \bar{C}_{yx,k}\left(\frac{r}{h} \frac{1}{2\Delta t}\right)$$

$$\bar{C}_{yx,k}\left(\frac{h+r}{h} \frac{1}{2\Delta t}\right) = \bar{C}_{yx,k}\left(\frac{h-r}{h} \frac{1}{2\Delta t}\right)$$

$$\hat{S}_{yx,k}\left(\frac{r}{h} \frac{1}{2\Delta t}\right) = \sum_{n=-j}^j a_n \bar{S}_{yx,k}\left(\frac{r-n}{h} \frac{1}{2\Delta t}\right)$$

ただし

$$\bar{S}_{yx,k}\left(\frac{-r}{h} \frac{1}{2\Delta t}\right) = -\bar{S}_{yx,k}\left(\frac{r}{h} \frac{1}{2\Delta t}\right)$$

(注)  $\wedge$  印は推定値であることを示す。

$$\bar{S}_{yx, k} \left( \frac{h+r}{h} \frac{1}{2\Delta t} \right) = -\bar{S}_{yx, k} \left( \frac{h-r}{h} \frac{1}{2\Delta t} \right)$$

(4) クロススペクトルの  $k$  による位相のずれを修正する。

$x, y$  のクロススペクトル

$$\hat{P}_{yx} \left( \frac{r}{h} \frac{1}{2\Delta t} \right) = \hat{C}_{yx} \left( \frac{r}{h} \frac{1}{2\Delta t} \right) + i \hat{S}_{yx} \left( \frac{r}{h} \frac{1}{2\Delta t} \right)$$

$$r=0, 1, 2, \dots, h$$

として

$$\hat{C}_{yx} \left( \frac{r}{h} \frac{1}{2\Delta t} \right) = \cos \left( 2\pi \frac{r}{2h} k \right) \hat{C}_{yx, k} \left( \frac{r}{h} \frac{1}{2\Delta t} \right)$$

$$+ \sin \left( 2\pi \frac{r}{2h} k \right) \hat{S}_{yx, k} \left( \frac{r}{h} \frac{1}{2\Delta t} \right)$$

$$\hat{S}_{yx} \left( \frac{r}{h} \frac{1}{2\Delta t} \right) = \cos \left( 2\pi \frac{r}{2h} k \right) \hat{S}_{yx, k} \left( \frac{r}{h} \frac{1}{2\Delta t} \right)$$

$$- \sin \left( 2\pi \frac{r}{2h} k \right) \hat{C}_{yx, k} \left( \frac{r}{h} \frac{1}{2\Delta t} \right)$$

(5) 周波数応答関数を求める。

$$\hat{A} \left( \frac{r}{h} \frac{1}{2\Delta t} \right) = \hat{P}_{yx} \left( \frac{r}{h} \frac{1}{2\Delta t} \right) / \hat{P}_{xx} \left( \frac{r}{h} \frac{1}{2\Delta t} \right)$$

$$r=0, 1, 2, \dots, h$$

振幅ゲイン

$$|\hat{A} \left( \frac{r}{h} \frac{1}{2\Delta t} \right)|$$

$$= \sqrt{\left\{ \hat{C}_{yx} \left( \frac{r}{h} \frac{1}{2\Delta t} \right) / \hat{P}_{xx} \left( \frac{r}{h} \frac{1}{2\Delta t} \right) \right\}^2}$$

$$+ \left\{ \hat{S}_{yx} \left( \frac{r}{h} \frac{1}{2\Delta t} \right) / \hat{P}_{xx} \left( \frac{r}{h} \frac{1}{2\Delta t} \right) \right\}^2$$

位相遅れ

$$\hat{\phi} \left( \frac{r}{h} \frac{1}{2\Delta t} \right) = \tan^{-1} \left\{ \hat{S}_{yx} \left( \frac{r}{h} \frac{1}{2\Delta t} \right) / \hat{C}_{yx} \left( \frac{r}{h} \frac{1}{2\Delta t} \right) \right\}$$

(6) 関速度（コーピーレンシー）求める

関速度

$$\hat{r}^2 \left( \frac{r}{h} \frac{1}{2\Delta t} \right)$$

$$= |\hat{A} \left( \frac{r}{h} \frac{1}{2\Delta t} \right)|^2 / \left\{ \hat{P}_{yy} \left( \frac{r}{h} \frac{1}{2\Delta t} \right) / \hat{P}_{xx} \left( \frac{r}{h} \frac{1}{2\Delta t} \right) \right\}$$

$$r=0, 1, 2, \dots, h$$

(7) 相対誤差を求める。

$|\hat{A} \left( \frac{r}{h} \frac{1}{2\Delta t} \right)|, \hat{\phi} \left( \frac{r}{h} \frac{1}{2\Delta t} \right)$  が、同時にそれぞれ  $|\hat{A} \left( \frac{r}{h} \frac{1}{2\Delta t} \right)| \{1 \pm R \left( \frac{r}{h} \frac{1}{2\Delta t} \right)\}, \hat{\phi} \left( \frac{r}{h} \frac{1}{2\Delta t} \right) \pm \sin^{-1} \times \{R \left( \frac{r}{h} \frac{1}{2\Delta t} \right)\}$  の範囲に入る確率が  $\delta$  以上であるような誤差に対する評価として

相対誤差

$$\hat{R} \left( \frac{r}{h} \frac{1}{2\Delta t} \right)$$

$$= \sqrt{\frac{1}{n-1} \left\{ \left( 1 / \hat{r}^2 \left( \frac{r}{h} \frac{1}{2\Delta t} \right) \right) - 1 \right\} \cdot F(\delta, 2, 2(n-1))}$$

ただし

$$n \text{ は } \frac{M}{h} \frac{1}{2 \sum_{n=-j}^j a_n^2}$$

に最も近い整数

$F(\delta, 2, 2(n-1))$  は  $F_{2^2(n-1)}$  が自由度  $2, 2(n-1)$  の分布にしたがうものとして  $P_{rob.} \{ F_{2^2(n-1)} \leq F(\delta, 2, 2(n-1)) \} \div \delta$  によって定まる値。

以上の計算に用いたパラメータの値は表A-1に示す。ウインドーは、表A-2に示す  $W_1, W_2, W_3$  の3種について検討した結果、図14～図18には  $W_2$  を用いた計算結果が示してある。

クロススペクトル計算に用いた入力  $x$  と出力  $y$  (表4参照) の関係は、 $w_g$  と  $a_z$  を例にとれば図A-1のように表わされる。すなわち、航空機Aに対する入力としては、乱気流速度の上下成分  $w_g$  と、その他のノイズ  $N$  があり、機体につけた上下加速度計による計測値  $a_z$  としてでてくる出力は、 $w_g$  による系の線型応答  $a_{zL}$  と非線型応答および  $N$  による応答を含めた  $a_{zN}$  から成り立っていると考えられる。したがって、クロススペクトル計算から求まる  $w_g$  と  $a_z$  との関速度  $r^2(f)$  は  $a_z$  の全パワーのうち  $a_{zL}$  のパワーがしめる割合を示すことになるので、 $w_g$  と  $a_z$  との関速度  $r^2(f)$  が高い程  $a_z$  から  $w_g$  を推定する場合に精度のよい結果がえられるといえる。しかし、図A-2に示すように、 $a_z$  を計測する場合に、入力に関係のない計測誤差  $\Delta a_z$  が入ると、(1)式によって  $w_g$  を計算するとき  $\Delta a_z$  が  $w_g$  の中にフィードバックされてしまうので、 $\Delta a_z$  が大きい程  $w_g$  と  $a_z$  の関速度  $r^2(f)$  が大きく計算されてしまうので注意しなければならない。

## 文 献

- 1) Hiroshi Akaike: Statistical Measurement of Frequency Response Function. Annals of the Institute of Statistical Mathematics, Supplement III, 1964
- 2) Shun Takeda: Experimental Studies on the Airplane Response to the Side Gusts. Annals of the Institute of Statistical Mathematics Supplement III, 1964
- 3) J.W. Jones: High Intensity Gust Investigation. Boeing Flight Test Activities Report D-12373, 1964

- 4) D.R. Booker and L.W. Cooper: Superpressure Balloons for Weather Research. Jour. Appl. Meteor., April, 1964
- 5) James Taylor: Manual on Aircraft Loads. AGARDograph 83, Pergamon Press, 1965
- 6) 竹内和之, 小野幸一, 山根皓三郎: 高度 500 フィートないし 10,000 フィートにおける上下突風の測定および解析, 航空宇宙技術研究所報告 TR-58, 1964 年 1 月
- 7) 小野幸一, 山根皓三郎: 垂直突風および航空機の空風応答に関する実験的研究, 航空宇宙技術研究所報告 TR-89, 1965 年 6 月
- 8) 竹内和之, 山根皓三郎: 航空機に関する突風について, 日本航空学会誌, 第 16 卷, 第 173 号, 1968 年 6 月
- 9) 大田正次, 伊藤朋之: 鈴鹿山脈の山越え気流の研究, 日本気象学会秋季大会予稿集, 1968 年 10 月  
および  
相馬清二, 江口博: 山越え気流の観測について, 日本気象学会秋季大会予稿集, 1968 年 10 月

表 1 実験機主要諸元

翼面積	25.74 m <sup>2</sup>
翼面荷重(総重量)	135.84 kg/m <sup>2</sup>
全幅	13.98 m
全長	10.16 m
全高	4.32 m

表 2 飛行高度, 飛行方向

Flt. No.	月日	コース No. 時間						
			1	2	3	4	5	6
1	43年 2月 23日	時分 10.33~12.26	km 3.8	2.9	2.0	1.3	2.7*	2.7*
2	25日	10.28~12.57	3.8	2.9	2.3	2.6	2.6	2.6*
3	26日	13.26~15.05	3.8	2.9	2.0	1.8	1.8	1.8*
4	28日	11.46~13.12	3.8	2.9	2.0	1.7	1.7	1.7*
			飛行方向	W←E	W→E	W←E	W→E	W←E
								W→E

飛行航路は航空路 GREEN 4 の中心に沿う。ただし, \*印は GREEN 4 に平行に 10 km 北側。

表 3 観測器総合感度

観測項目	総合感度	備考
補助翼舵角	0.1 V/deg	左補助翼に取付
方向舵舵角	0.08 V/deg	
昇降舵舵角	0.1 V/deg	左昇降舵に取付
迎え角	0.1 V/deg	
横辺り角	0.1 V/deg	
上下加速度	1.1 V/g	
左右加速度	3.5 V/g	
縦揺れ角速度	0.08 V/deg/s	
横揺れ角速度	0.08 V/deg/s	
偏揺れ角速度	0.08 V/deg/s	
高度	0.9 V/1,000 m	
速度	0.06 V/kt	
温度	0.2 V/°C	測温部抵抗 13Ω

注) 総合感度はセンサーから磁気記録機(最大入力レベル ±1.0 V rms)の入力までの感度

表 4 パワースペクトル計算を行なった入出力項目

$x$	$w_g$		$v_g$		$w_g$		$v_g$		$v_g$	
$y$	$\alpha$	$a_z$	$\beta$	$a_y$	$\alpha$	$a_z$	$\beta$	$a_y$	$w_g$	
参 照 図	図 14		図 15		図 16		図 17		図 18	
計 算 場 所	(1)		(2)		(2)		(1) (2)			

表 5 観測概略

Flt. No.	風		気 温		雲の状態	乱気流の存在	
	風速*	Wind Shear	lapse rate	コース中の変動(最大)		短 波 長	長波長
1	m/s 5~20	中	°C/km 4.7	°C 3	高度 1.5~2 km で 雲量約 6	高度 2 km 以下で若干 (2 m/s 程度)	中
2	10~40	大	3.1	6.5	高度 1.5~2 km で 雲量約 8	高度 2.6 km 以下で若干 (2 m/s 程度)	大
3	-5~15	小	6.6	10.5	高度 1.5 km 以下で 山の西は雲東は晴	高度 2 km 以下で山頂 付近で 6 m/s 程度	中
4	0~15	小	5.3	2	ほとんどなし	ほとんどなし	小

\* 西風を正符号で表わす。

表 A-1 計算に用いたパラメータの値

$\Delta t$	データのサンプリング間隔	0.02 s
$M\Delta t$	データの長さ	10.24 s
$h$	相関関数計算点数	51
$H$	位相修正計算のための点数	0
$k$	位相修正計算のための正の整数	0
$\delta$		0.95
$a_n$	スペクトルウインドウの係数	表 A-2 参照

表 A-2 スペクトルウインドウの係数  $a_n$ 

ウインドウの種類		$W_1$	$W_2$	$W_3$
$a_n$	$a_0$	0.5132	0.6398	0.7029
	$a_1=a_{-1}$	0.2434	0.2401	0.2228
	$a_2=a_{-2}$	0	-0.0600	-0.0891
	$a_3=a_{-3}$	0	0	0.0149
	$a_4=a_{-4}=\dots$	0	0	0

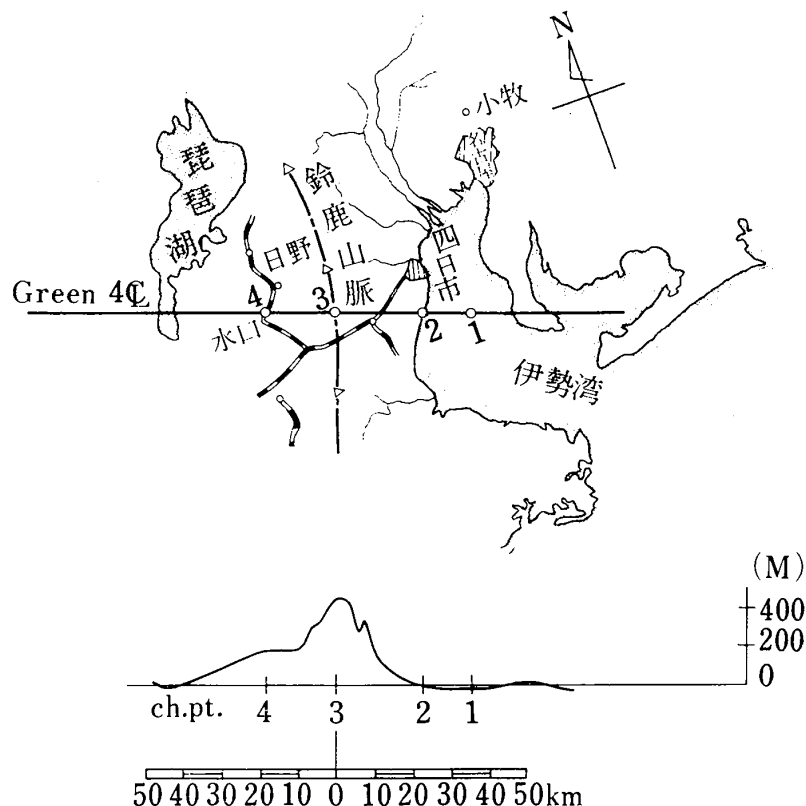


図 1 観測航路

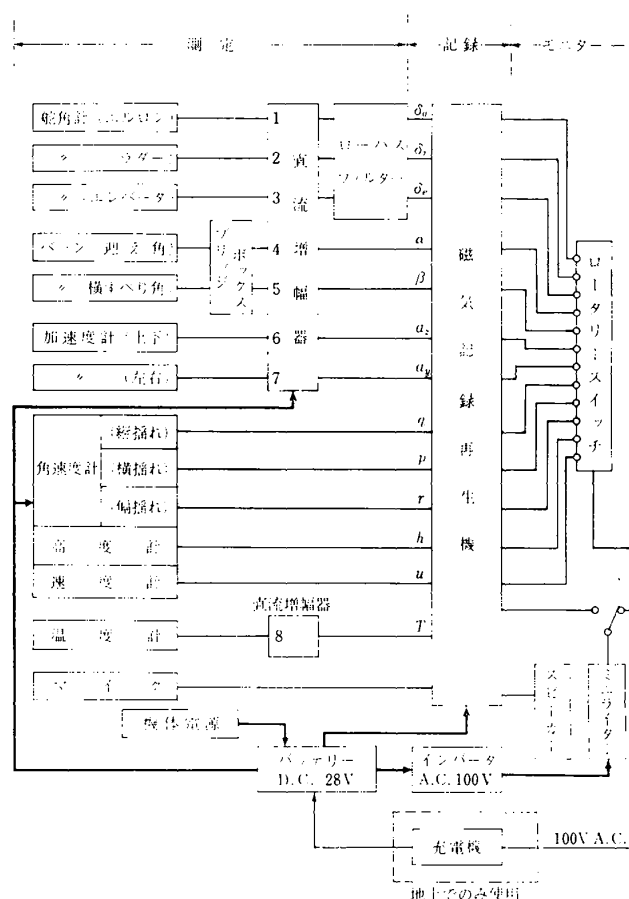


図 2 計測法概略



図 3 過え角計、横辺り角計

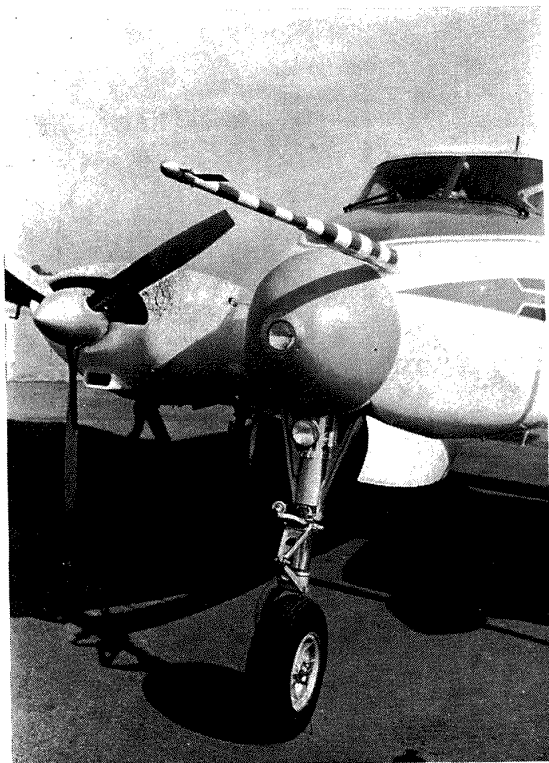


図 4 過え角計取付状態

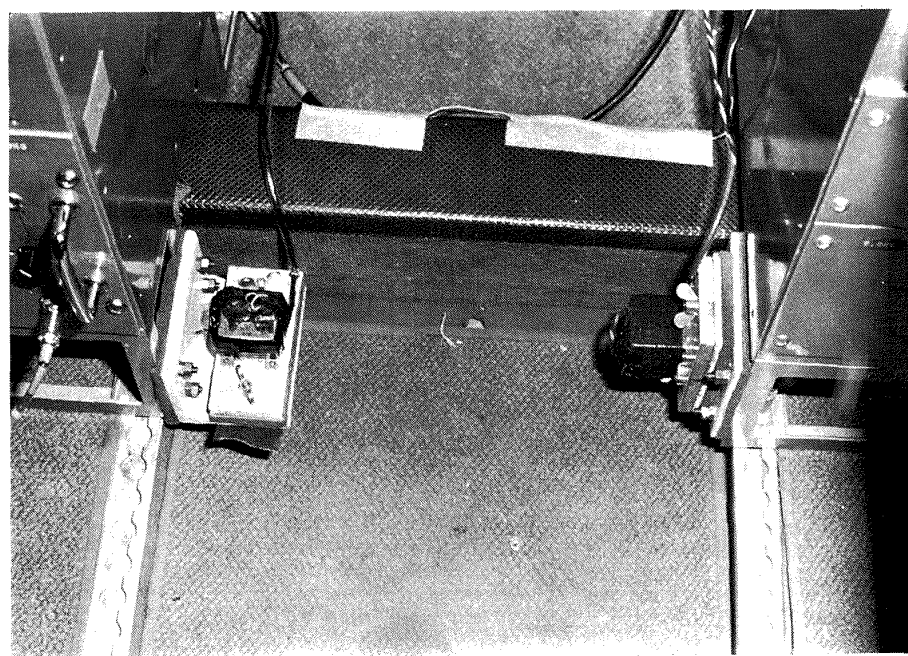


図 5 加速度計（写真左が左右加速度計、右が上下加速度計）

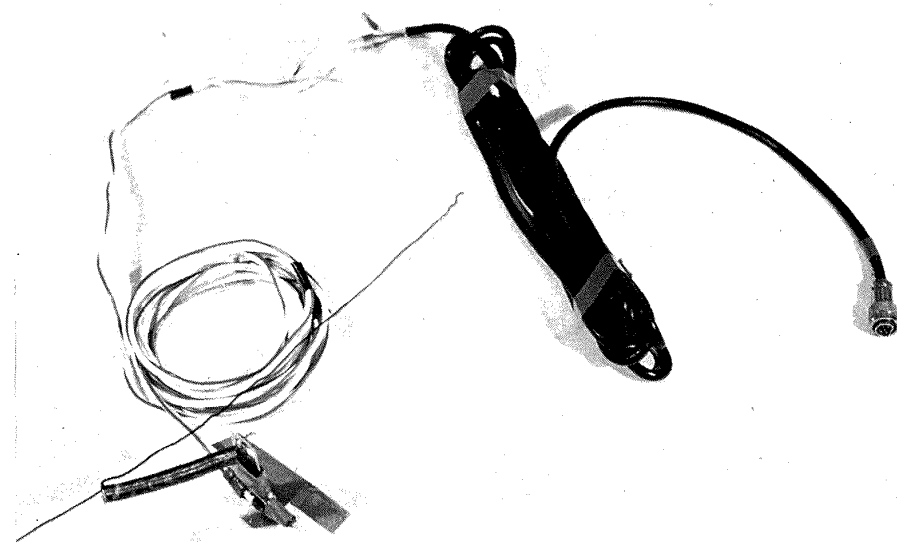


図 6 舵角計



図 7 抵抗線温度計

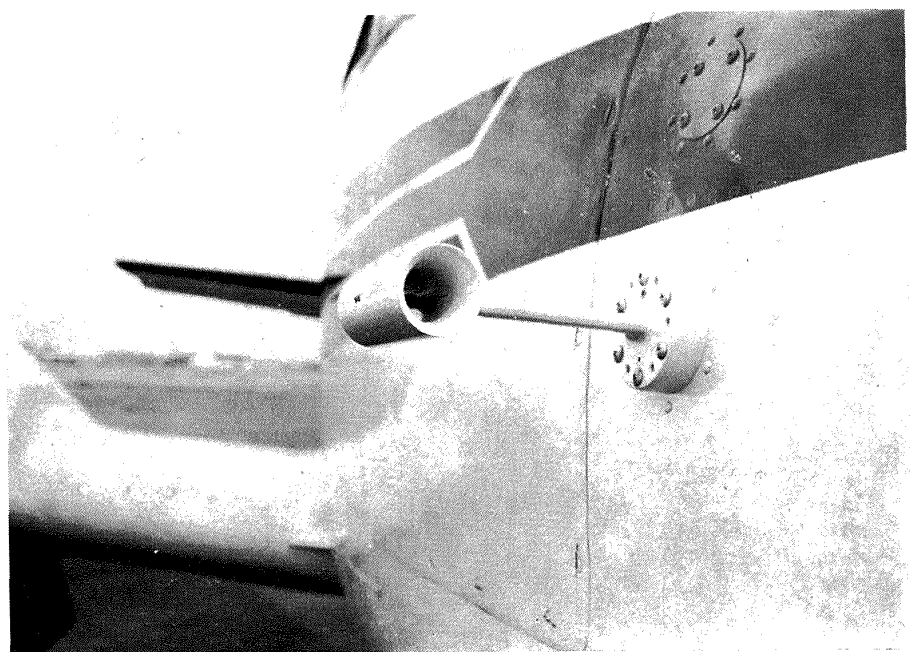


図 8 温度計機体取付状態

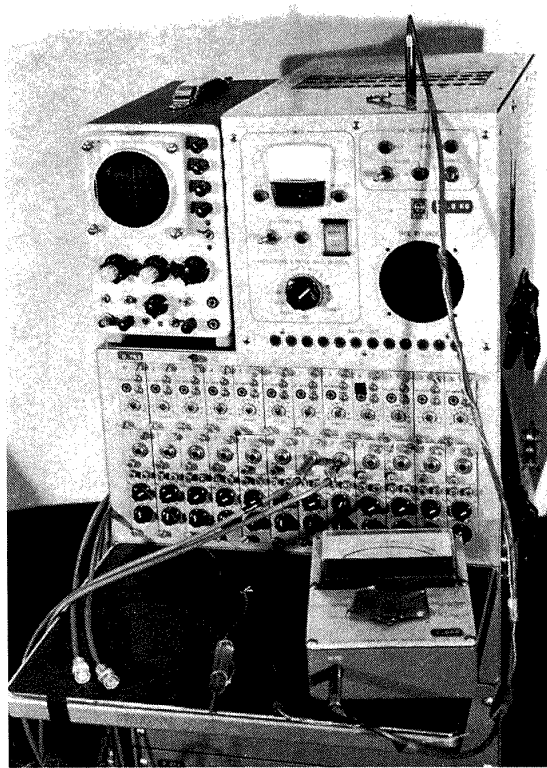


図 9 直流増幅器



図 10 計測器の機内配置

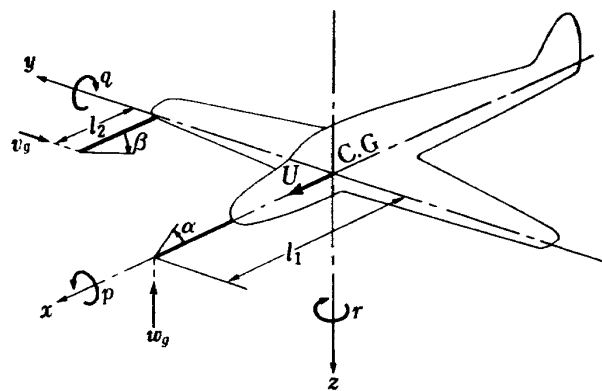


図 13 機体運動に対する記号

 $w_g - \alpha$  の相関 $w_g - a_z$  の相関

3-4-(1)

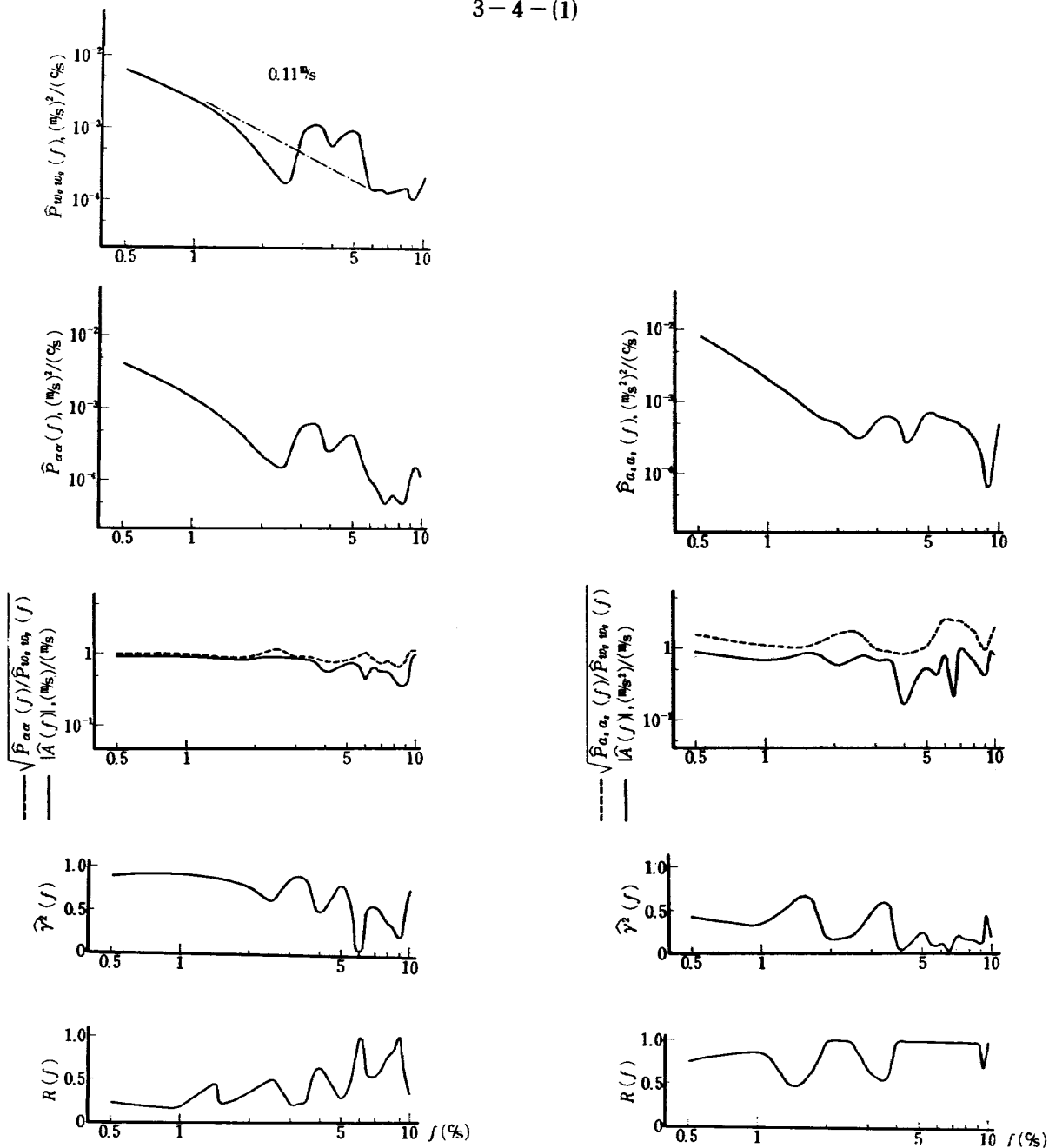


図 14 パワースペクトル計算結果（その 1）

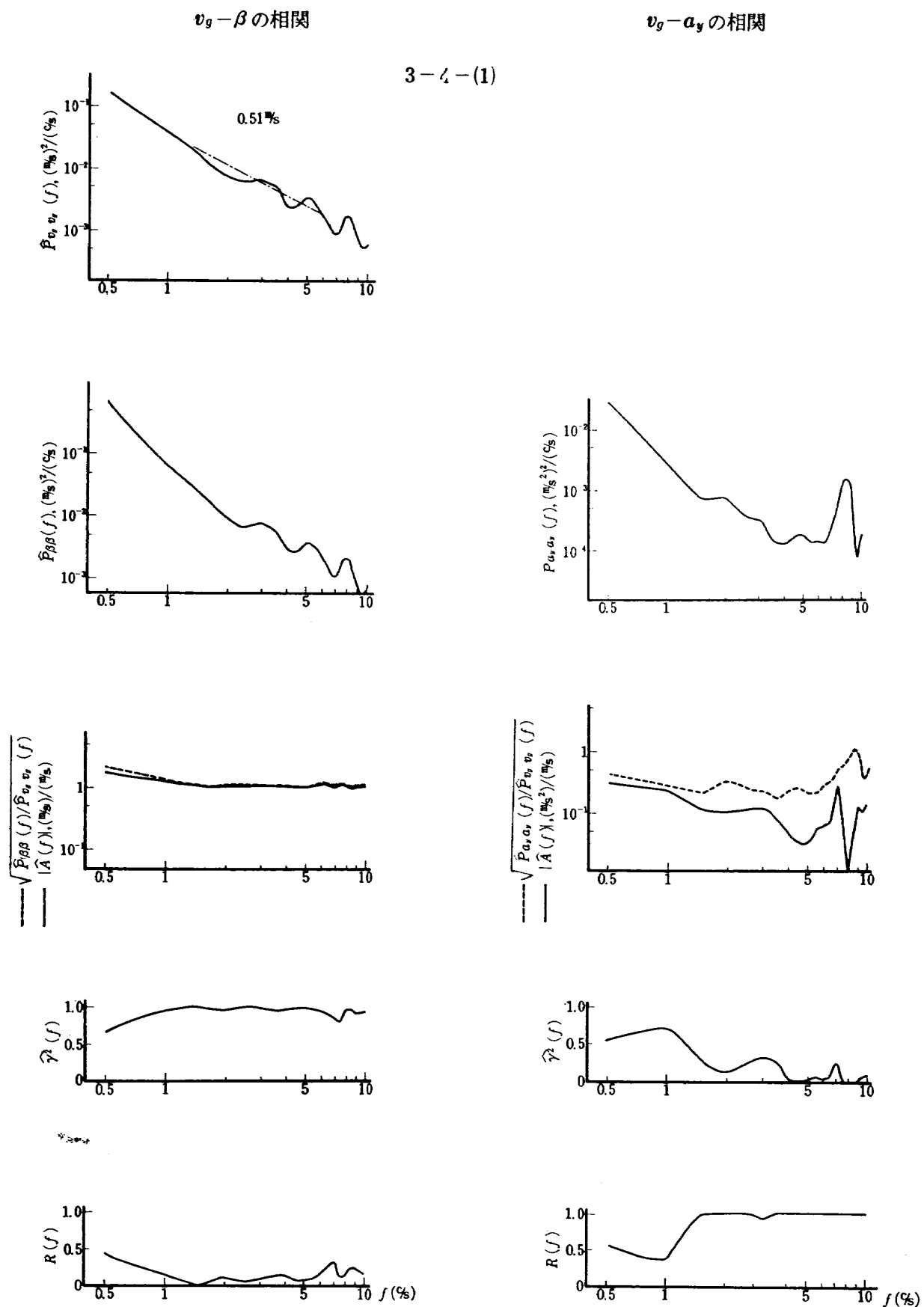


図 15 パワースペクトル計算結果（その 2）

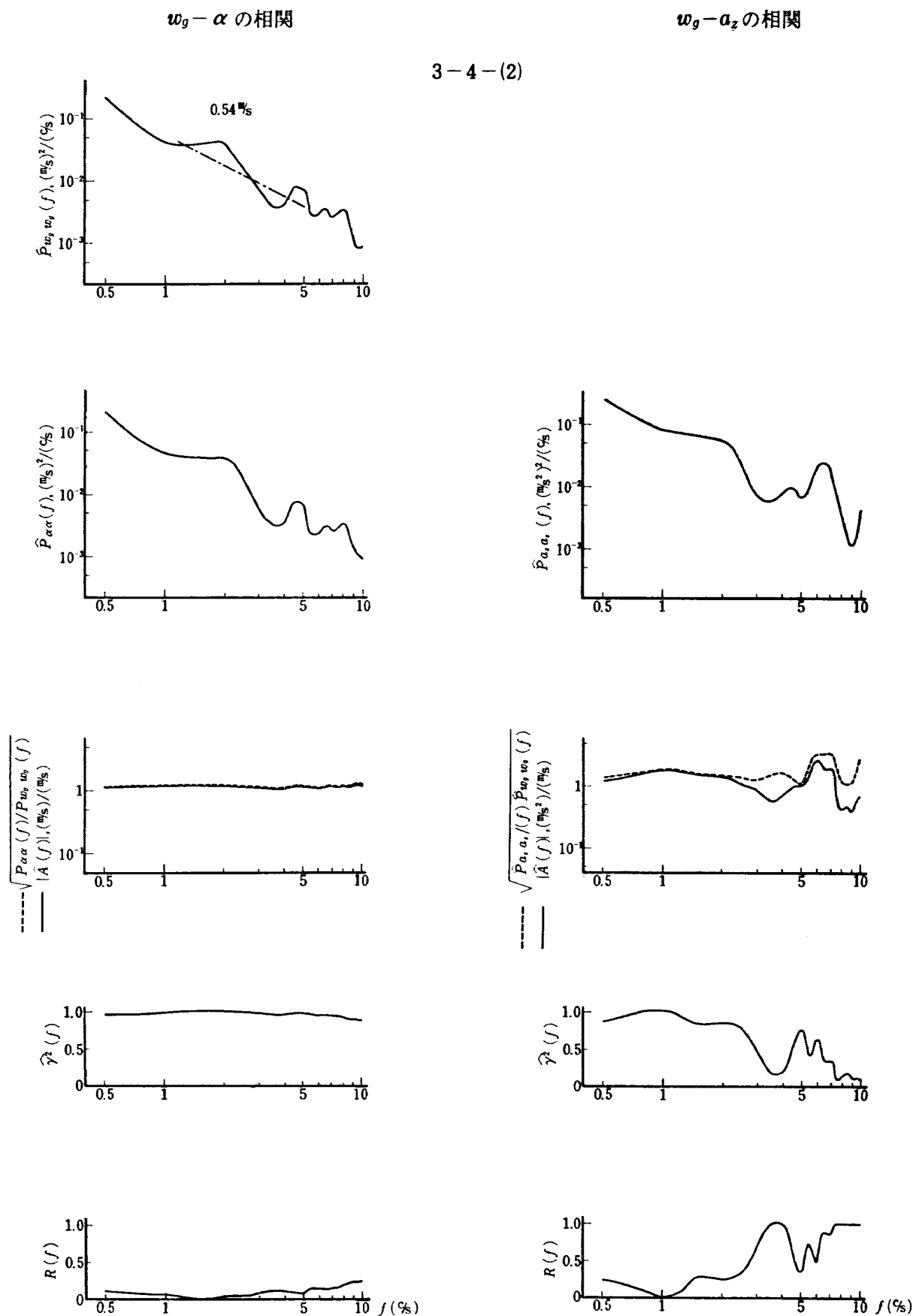


図 16 パワースペクトル計算結果（その 3）

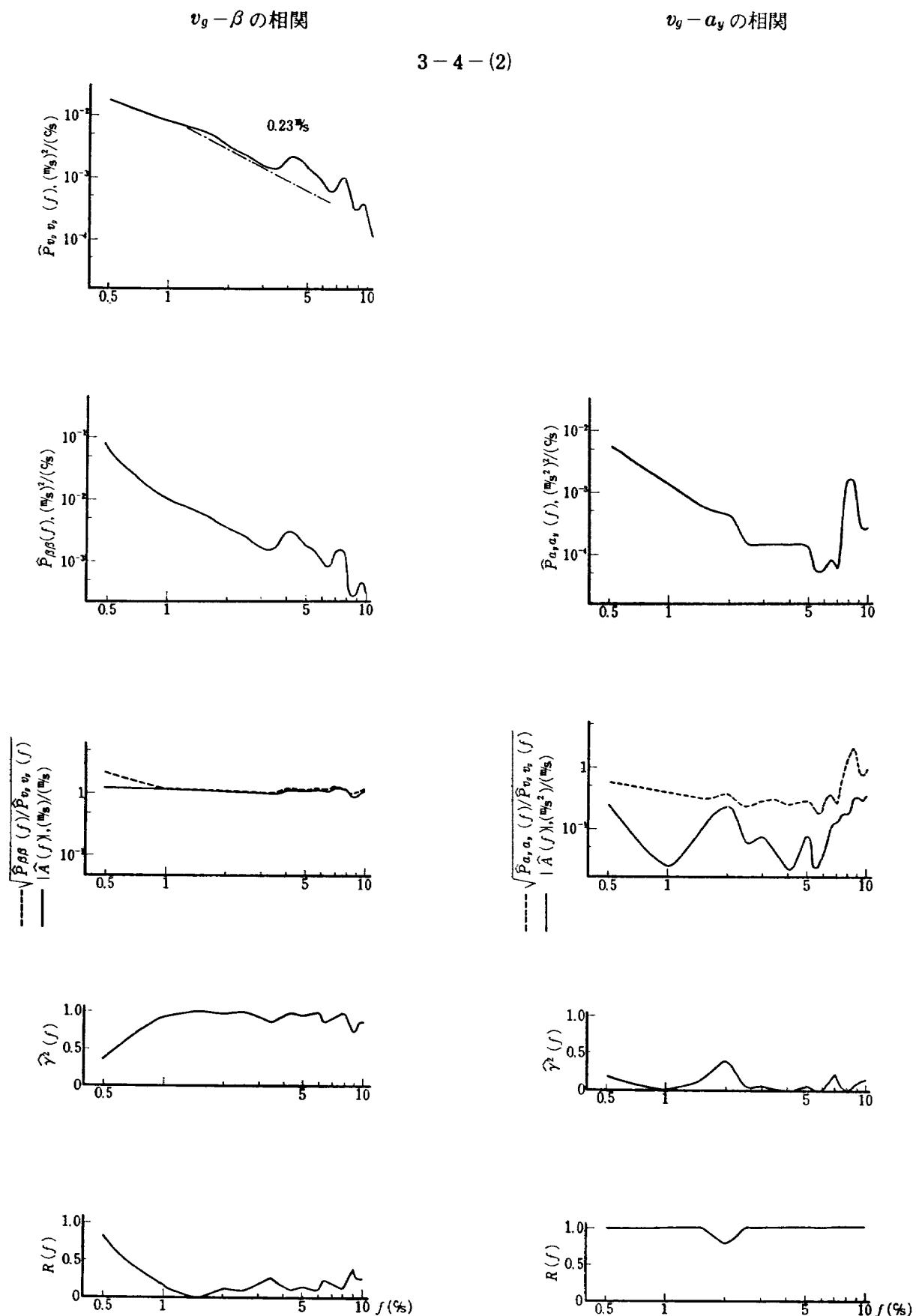


図 17 パワースペクトル計算結果（その 4）

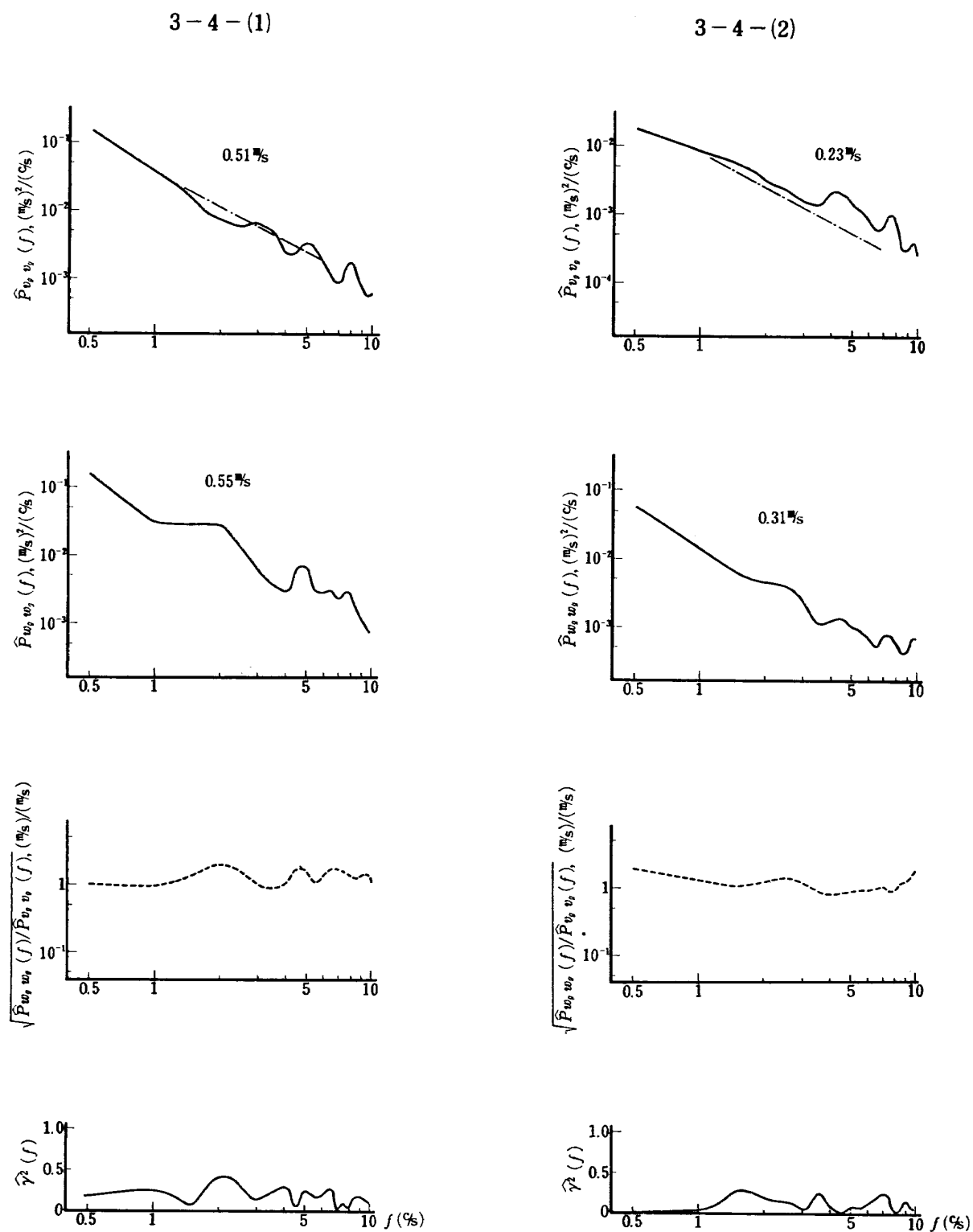
$v_g - w_g$  の相関

図 18 パワースペクトル計算結果（その 5）

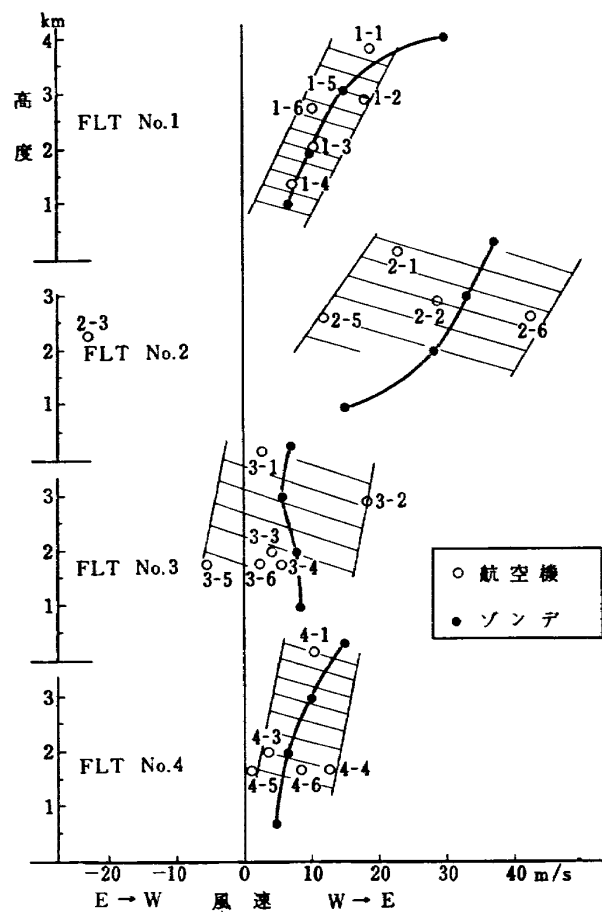


図 19 風速観測資料

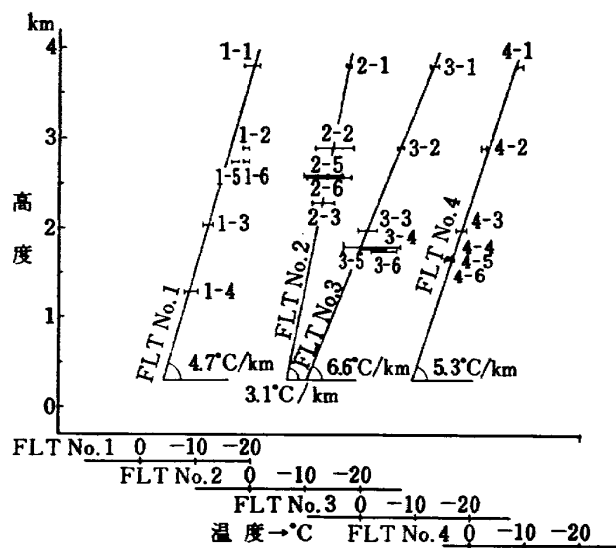


図 20 溫度観測資料



図 21 Flt No. 2 における雲の状態（高度 3.8 km より撮影）

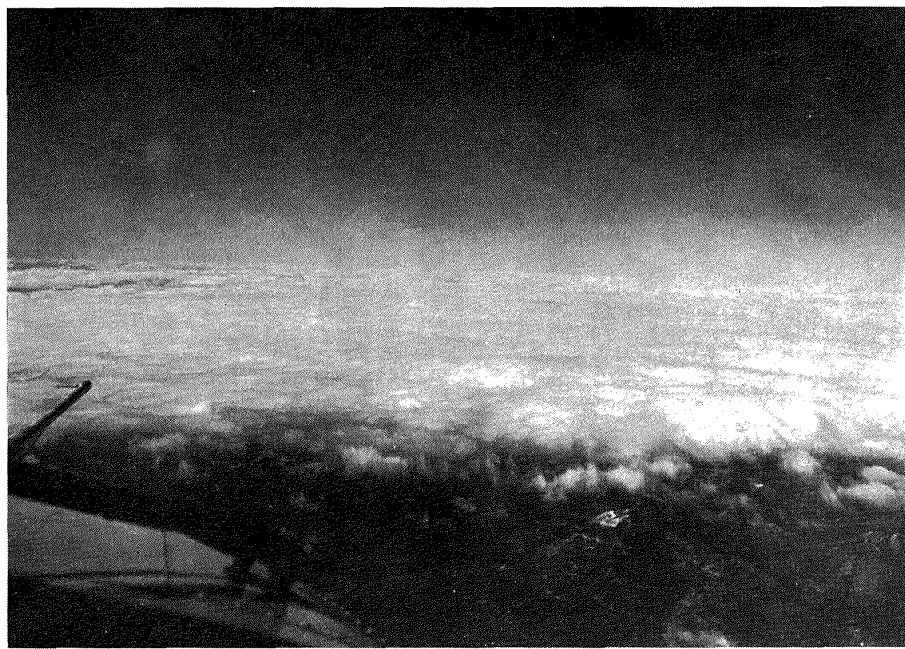


図 22 Flt No. 3 における雲の状態（高度 3.8 km より撮影）

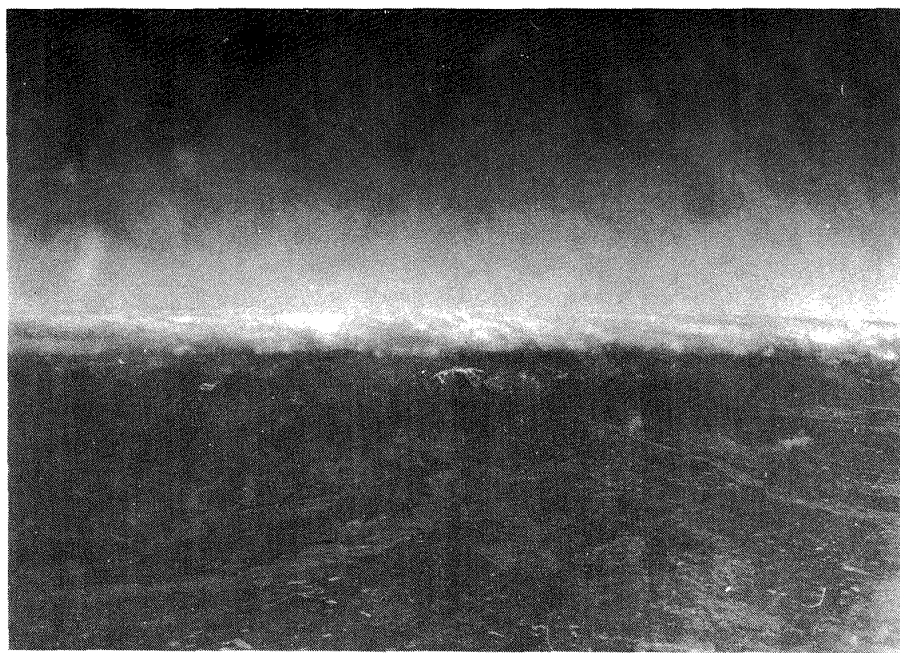


図 23 Flt No. 3 における雲の状態 (高度 1.8 km より撮影)

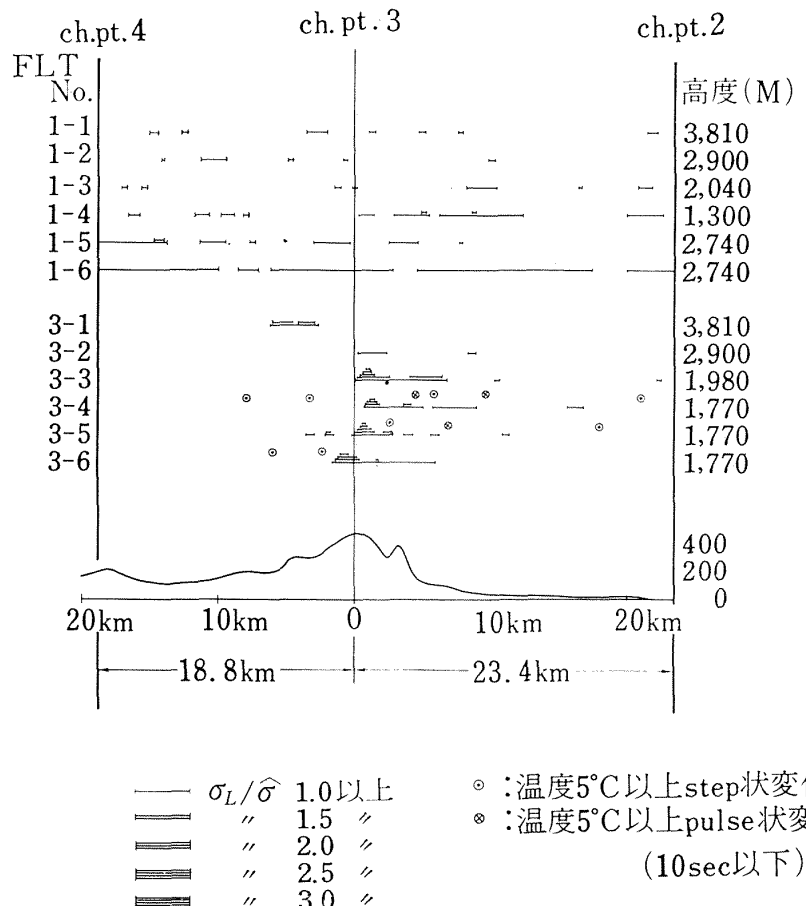


図 24  $\beta$  の変動が大きい概略位置  
 $\beta$  のローカル (10 sec 間) RMS 値より読みとったもの

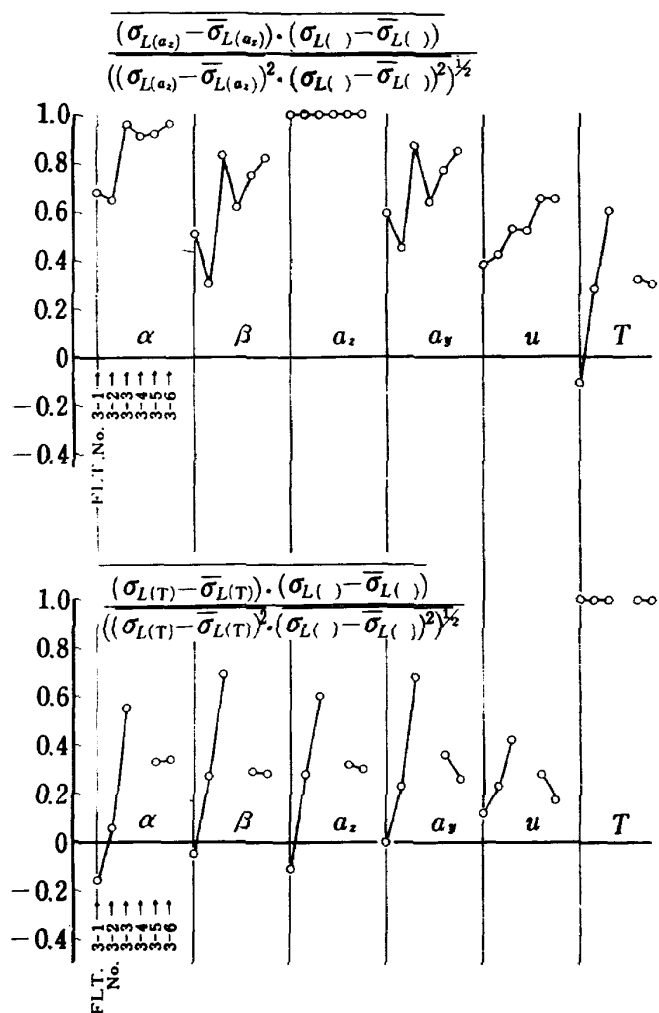


図 25 各計測値間の関連性

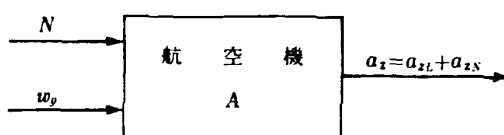


図 A-1

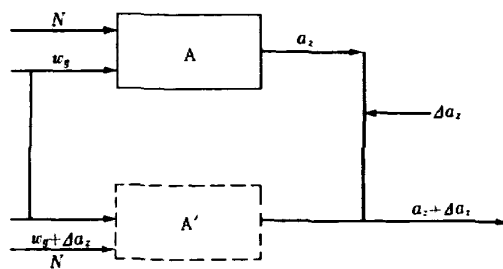
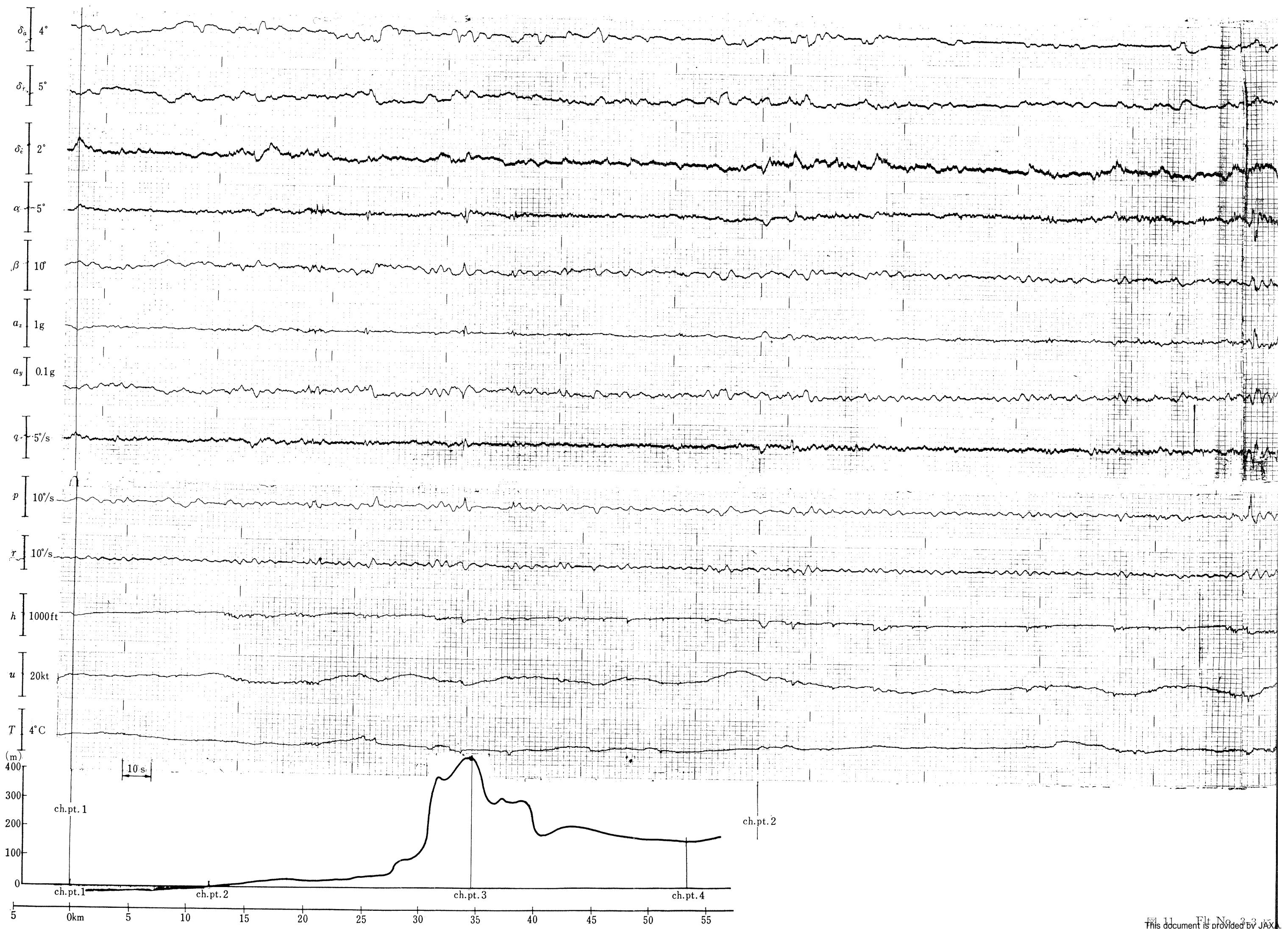
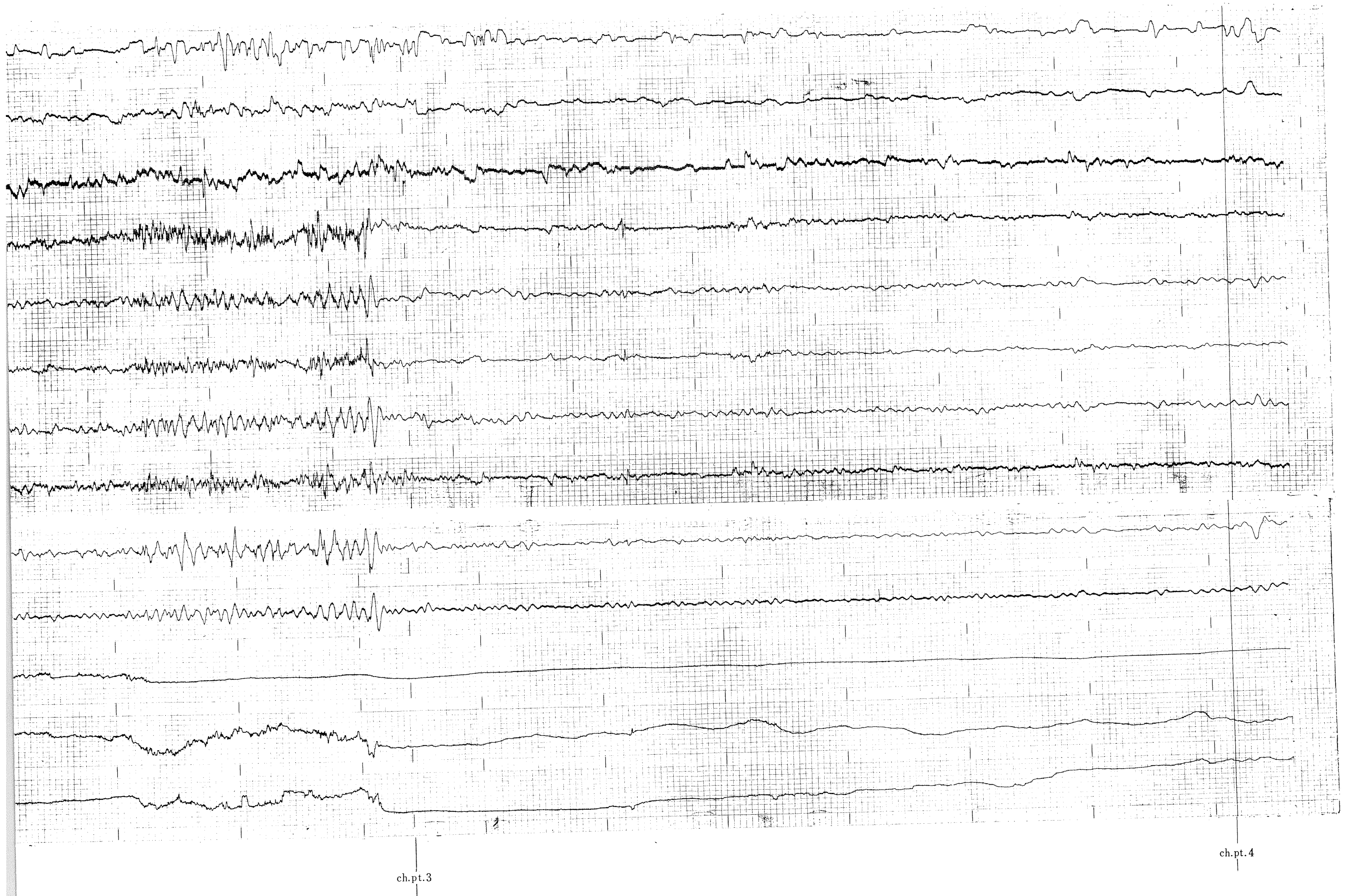


図 A-2





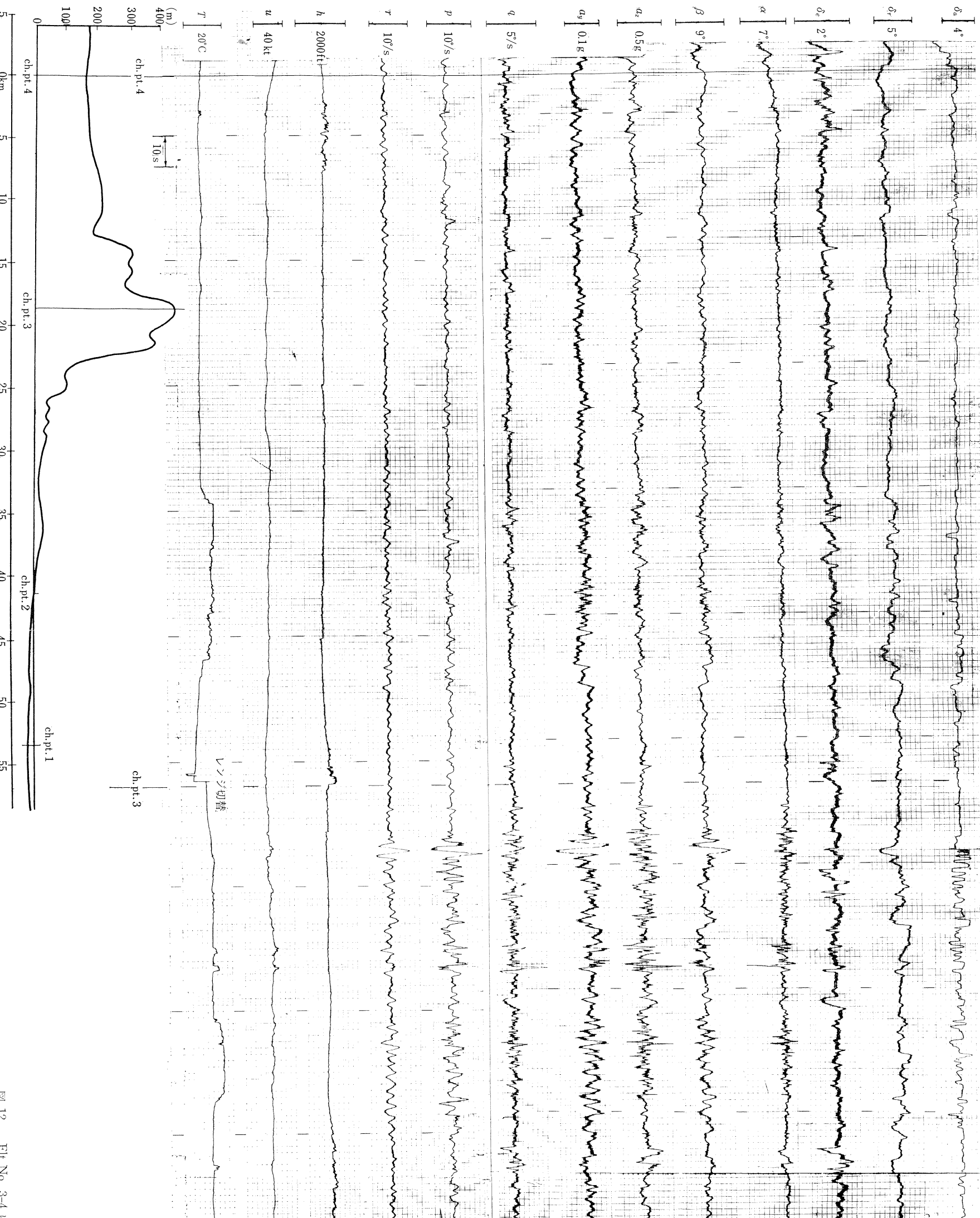
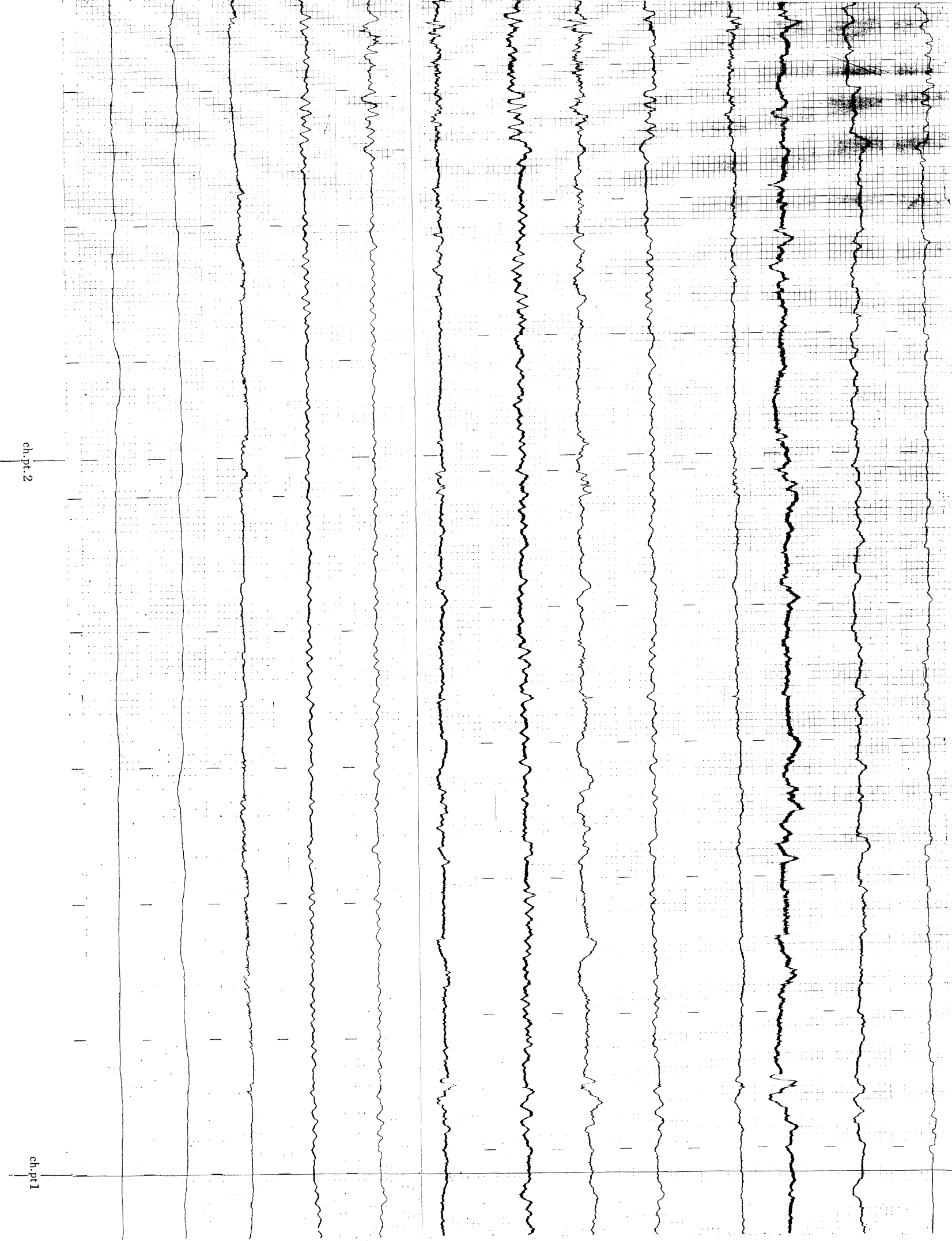


図 12 Fit No. 3-4



## 既 刊 報 告

TR- 1	遷音速風胴測定部に関する予備実験 Preliminary Investigation of N. A. L. Transonic Wind-Tunnel Test-Section	1960 年 2 月 平木 一, 石井孝雄 大島信彦
TR- 2	遷音速風胴用 22.5MW 主送風機 I. 模型送風機による性能試験 22.5MW Main Blower for N. A. L. Transonic Wind Tunnel I. Performance Test of the Model Blower	1960 年 5 月 山内正男, 松木正勝 塩入淳平, 富永守之
TR- 3	風胴用角度計の試作実験 An Experiment on Angle Measuring Instruments of Airplane Models in Wind Tunnel Test	1960 年 8 月 小橋安次郎, 長洲秀夫 高島一明, 波木井潔
TR- 4	回転円板の強度 Strength of Rotating Discs	1960 年 9 月 佐藤和郎, 永井文雄
TR- 5	航空技術研究所 (60cm × 60cm) 遷音速フラッタ試験設備の計画と整備試験 Design and Development of N. A. L. 60cm × 60 cm Transonic Blowdown Wind Tunnel for Flutter Testing	1960 年 12 月 中井嘆一, 橋爪 宏 中村泰治
TR- 6	高温歪ゲージの温度特性 Temperature Characteristics of High Temperature Strain Gage	1960 年 12 月 竹中幸彦
TR- 7	遷音速風胴の測定部 On the Transonic Test Section	1961 年 1 月 村崎寿満
TR- 8	繰返し荷重試験装置の予備試験 Preliminary Study for Development of Repeated Load Testing Rigs for Full-Scale Aircraft Structures	1961 年 3 月 竹内和之, 飯田宗四郎
TR- 9	遷音速流小擾乱理論の研究 (I) —非線型補正理論— Studies on the Small Disturbance Theory of Transonic Flow (I) —Non-Linear Correction Theory—	1961 年 3 月 細川巖
TR-10	喰違い角の大きい減速翼列の研究 Cascade Tests of High Stagger Compressor Blades	1961 年 3 月 松木正勝, 高原北雄 西脇英夫, 森田光男
TR-11	軟鋼円板の回転による降伏 Yielding of Rotating Discs of Mild Steel	1961 年 4 月 佐藤和郎, 永井文雄
TR-12	薄肉開断面梁の自由振動について On the Natural Vibration of Thin-Walled Beams of Open Cross Section	1961 年 5 月 川井忠彦, 塙武敏
TR-13	衝撃波と境界層の干渉についての実験的研究 Experimental Results of the Interaction between Shock Wave and Turbulent Boundary Layer	1961 年 7 月 須郷道也, 伝田幸雄
TR-14	電磁流体の圧縮性境界層 On Compressible Boundary Layer in Magnetodynamics	1961 年 7 月 須郷道也, 小沢五郎
TR-15	振動翼用圧力ピックアップの試作・較正 Miniature Pressure Pickups for Measuring the Pressure on Oscillating Airfoils in Supersonic Flow	1961 年 8 月 石井孝雄, 柳沢三憲
TR-16	放物型偏微分方程式の混合境界値問題の差分法による数値解法 On the Difference Method Solutions of the Mixed Boundary Value Problems of Parabolic Partial Differential Equations	1961 年 12 月 橋口一雄, 三好甫
TR-17	荷電ビームによる気流密度測定の理論的考察 A Theoretical Comment on the Charge-Beam Method of Measuring Gas Density	1961 年 12 月 和田勇, 細川巖 三好甫

TR-18	前置静翼翼列と喰違い角の大きい減速翼列の二次元低速翼列性能と回転翼列性能との比較 Comparison of Inlet Guide Vane and High Stagger Compressor Bladne Performance in a Rotor and in Cascade	1961 年 11 月 松木正勝
TR-19	高速翼車の回転強度 Strength of High-Speed Rotor	1961 年 12 月 佐藤和郎, 永井文雄
TR-20	Blasius 型微分方程式の両側無限遠境界値問題の数値解法 A Numerical Method for Solving Blasius' Type Differential Equation	1962 年 1 月 横口一雄, 戸川隼人
TR-21	遷音速における二次元操縦面の研究 (I) An Investigation of Two-dimensional Control Surface at Transonic Speed (I)	1962 年 1 月 神谷信彦
TR-22	変断面梁の曲げ自由振動について On the Free Lateral Vibration of a Beam with Variable Cross Section	1962 年 2 月 川井忠彦, 戸川隼人 林洋一
TR-23	いくつかの型の偏微分方程式の境界値問題のモンテカルロ法による解法とその実験 Monte Carlo Solutions of the Boundary Value Problems for Some Types of Partial Differential Equations	1962 年 2 月 横口一雄, 高橋利之 鳥海良三
TR-24	航空技術研究所のターボ・ジェットエンジン要素試験設備 Test Facilities of Turbo-jet Engine Components at N. A. L.	1962 年 2 月 航空技術研究所原動機部
TR-25	航空技術研究所 2m × 2m 遷音速風胴の計画と構造 Design and Construction of the 2m × 2m Transonic Wind Tunnel at the National Aeronautical Laboratory	1962 年 3 月 航空技術研究所
TR-26	吹出式超音速風胴のノズルの予備実験 Preliminary Tests of Supersonic Nozzles for the Supersonic Blowdown Wind Tunnel	1962 年 3 月 河崎俊夫, 岡部祐二郎 尾形吉和, 安藤尚
TR-27	非定常遷音速流の近似解析 An Approximate Analysis for Unsteady Transonic Flow	1962 年 7 月 細川巖, 三好甫
TR-28	疲労亀裂について On Fatigue Cracks	July 1962 Iwao Hosokawa
TR-29	1m × 1m 吹出式超音速風胴の計画と構造 On the Design and Construction of the 1m × 1m Supersonic Blow-down Wind Tunnel	1962 年 8 月 竹中幸彦
TR-30	平板翼の振動について On the Natural Vibration of Plate-Like Wings	1962 年 10 月 空気力学第二部
TR-31	熱応力を受ける薄翼の安定とその微小捩り振動について On the Instability and Small Natural Torsional Vibration of a Thin Wing under Thermal Stress	1962 年 10 月 川井忠彦, 塙武敏之 戸川隼人, 高橋利之 越出慎一
TR-32	補強板の圧縮強度に関する一解析 A Method of Analysis on the Compressive Strength of Stiffened Plates	1962 年 11 月 川井忠彦, 江川幸一
TR-33	主翼繰返し荷重試験装置 Repeated Load Testing Rigs for Full-Scale Aircraft Wing Structures	1962 年 12 月 竹内和之, 飯田宗四郎 小野幸一

- TR-34 高速軸流圧縮機の研究 (I)  
 　　一翼型と翼列の検討—  
 　　An Investigation of High Speed Axial Flow  
 　　Compressor (I)  
 　　—The Selection of Compressor Cascade—
- TR-35 高速軸流圧縮機の研究 (II)  
 　　一単段試験装置の設計と全体性能—  
 　　An Investigation of High Speed Axial Flow  
 　　Compressor (II)  
 　　—Design and Overall Performance of a  
 　　Single Stage Axial Flow Compressor—
- TR-36 衝撃波風洞による表面熱伝達の実験  
 　　Studies of Surface Heat Transfer Using a  
 　　Hypersonic Shock Tunnel
- TR-37 Studies of the Flow in a Low Pressure Hypersonic Shock Tunnel Using an Electron-Beam Densitometer
- TR-38 鋳鉄のような脆性材料からなる円板の回転強度  
 　　Strength of Rotating Discs of Brittle Material Like Cast Iron
- TR-39 高負荷燃焼器の研究 (第1報)  
 　　—その性能におよぼす各種因子の影響の定性的  
 　　考察—  
 　　A Study of High Intensity Combustor (I)  
 　　—Its Qualitative Analysis—
- TR-40 車体内圧縮返し荷重試験装置について  
 　　Repeated Load Testing Facility for Full-Scale Aircraft Fuselage Structures
- TR-41 辐射熱量計の較正  
 　　Calibration of Radiometer
- TR-42 非定常境界層の相似解とその安定  
 　　A Similar Solution of Unsteady Laminar Boundary Layer and Its Stability Characteristics
- TR-43 超音速における操縦面の効きについて  
 　　On the Effectiveness of Control Surfaces in Supersonic Flow
- TR-44 高速翼列の実験について  
 　　(流入角の大きい減速翼列の予備実験)  
 　　Some Notes about the Effect of Tunnel Configuration and Testing Technique on Compressor Cascade Performance
- TR-45 固有値問題 ( $\sum \lambda_k A_k$ )  $x=0$  の数値解法  
 　　A Numerical Method for the Eigenvalue Problem ( $\sum \lambda_k A_k$ )  $x=0$
- TR-46 翼の固有振動数に関する一解析法  
 　　On the Vibration Analysis of Aircraft Wings
- TR-47 鋳鉄円板の回転破壊におけるコリオリの力の影響  
 　　Influence of Coriolis' Force on the Burst of Rotating Disc of Cast Iron
- TR-48 曲面に沿う境界層  
 　　Effects of Surface Curvature on Laminar Boundary-Layer Flow
- TR-49 高速軸流圧縮機の研究 (III)  
 　　一翼の厚さの影響—  
 　　An Investigation of High Speed Axial Flow Compressor (III)  
 　　—Effects of Blade Thickness—
- 1963年1月 松木正勝, 大山耕一  
 　　宮地敏雄
- 1963年1月 松木正勝, 宮地敏雄  
 　　大山耕一, 吉田晃見  
 　　西脇英夫, 岩部柱相
- 1963年1月 和田勇, 松崎利一
- Jan. 1963 Isamu WADA
- 1963年1月 佐藤和郎, 永井文雄
- 1963年2月 大塚貞吉, 鈴木邦男
- 1963年2月 竹内和之, 川島矩郎  
 　　野原利雄
- 1963年2月 竹中幸彦, 江川幸一  
 　　小川鉱一
- 1963年7月 小橋安次郎, 恩地瑛
- 1963年2月 河崎俊夫
- 1963年2月 近藤博, 斎田光弘  
 　　坂口一, 山崎紀雄
- 1963年4月 戸川隼人
- 1963年6月 川井忠彦, 泉日出夫  
 　　戸川隼人, 林洋一
- 1963年7月 佐藤和郎, 永井文雄
- 1963年8月 林二議
- 1963年9月 松木正勝, 宮地敏雄  
 　　大山耕一, 吉田晃見  
 　　西脇英夫, 岩部柱相

TR-50	境界収縮法による偏微分方程式の境界値問題の数値解法 Numerical Method for Boundary Value Problems of Partial Differential Equations by Boundary Contraction	1963年9月 樋口一雄, 能美 力
TR-51	人間の静的不安定系の制御能力 Human Control Ability of the Statically Unstable System	1963年9月 武田 峻
TR-52	粒状加熱器の熱特性 Thermal Characteristics of a Pebble-Bed Heater	1963年10月 林 二譲
TR-53	円管流の非定常熱伝達 (第1報) —壁温が時間と流向距離のみによる場合— Thermal Characteristics of the Unsteady Flow through a Circular Pipe whose Temperature depends on Time and Flow-Directional Distance only	1963年10月 林 二譲
TR-54	偏微分方程式の混合境界値問題の差分法による数値解法 Difference Method for the Mixed Boundary Value Problems	1963年10月 三好 甫
TR-55	ボスをもった車盤の回転強度 Rotating Strength of Rotor which Has a Boss	1963年11月 佐藤和郎, 永井文雄
TR-56	亜音速および遷音速における二次元非定常空気力の測定 (第1報) Measurements of the Unsteady Aeroloads for Two-Dimensional Flow at Subsonic and Transonic Speed Range (I)	1963年11月 中村泰治, 田辺義一
TR-57T	Measurements of the Aerodynamic Derivatives of an Oscillating Biconvex-Flat Airfoil in Supersonic Flow at Mach Number 2 to 3	Jan. 1964 Takao ISHII Mitsunori YANAGIZAWA
TR-58	高度 500 フィートないし 10,000 フィートにおける上下突風の測定および解析 Measurements and Analyses of Gust Velocities from 500 to 10,000 feet Altitude	1964年1月 竹内和之, 小野幸一 山根皓三郎
TR-59	磁気テープデータ処理設備とその性能 The Magnetic Tape Date Reduction System and Its Performance	1964年1月 田畠淨治, 中 正夫 山本芳樹, 三浦雅男
TR-60	変厚平板翼の振動について On the Natural Vibration of Plate-Like Wings of Variable Thicknees	1964年1月 塙武敏, 越出慎一 戸川隼人, 川井忠彦
TR-61	後退角45°, テーパ比0.6の薄い片持翼の遷音速におけるフラッタ特性におよぼすマッハ数の影響の実験的研究 Some Effects of Mach Number on the Transonic Flutter Characteristics of Thin Cantilever Wings Having a Taper Ratio 0.6 and a Sweptback Angle of 45°	1964年2月 中井暎一, 小原 瑛
TR-62	超音速における翼端板効果 The Effects of the End-plates at Supersonic Speeds	1964年2月 尾形吉和
TR-63	非定常流中の円柱に作用する空気力について Aerodynamic Forces Acting on a Circular Cylinder in Unsteady Flow	1964年2月 小橋安次郎, 遠藤 浩 北村清美
TR-64	航空力学における磁わい計器の応用 Some Developments of the Magnetostriction Type Measuring Instruments for the Study of Aircraft Dynamics	1964年3月 幸尾治朗
TR-65	非定常境界層の安定に関する実験 An Experimental Investigation of Stability Characteristics of Unsteady Laminar Boundary Layer	1964年7月 小橋安次郎, 恩地 瑛

TR-66	変分法による平板翼の撓み、振動解における自然境界条件の数値的吟味(片持平板翼の場合) Numerical Examination on the Fulfilment of Natural Boundary Conditions by the Approximate Solutions for Bending and Vibration of Thin Elastic Plates based on the Rayleigh-Ritz's Procedure (in Case of Cantilevered Wing Plates)	1964年6月 川井忠彦, 堀川隼人 越出慎一, 戸川隼人 落合薰
TR-67	プラズマ発生装置の諸特性 Characteristics of a Vortex Stabilized Plasma Generator	1964年4月 井上建二, 野村茂昭
TR-68	回転翼の線型理論(I) —揚力面理論— Linearized Aerodynamic Theory of Rotor Blades (I)—Lifting Surface Theory—	1964年6月 市川輝雄
TR-69	高速軸流ターピンの研究(I) —(ターピンノズル円環翼列の研究)— An Investigation of the High Speed Axial Flow Turbine(I) —An Investigation of the Annular Turbine nozzle Cascade—	1964年7月 鳥崎忠雄, 能瀬弘幸 森田光男
TR-70	汎用飛行シミュレータ設備の計画、構造および特性 Design, Construction and Characteristics of Flight Simulator at National Aerospace Laboratory	1965年1月 松浦陽恵, 桶口一雄 池谷光栄, 堀川勇壮 村上力, 百名盛之 三好範子, 岡部正典
TR-71	塑性の三方向せん断理論 塑性変形による異方性 塑性流動に及ぼす中間主応力の影響 応力状態と塑性変形の形 Three-Shear Theory of Plasticity Anisotropy Due to Plastic Deformation Influence of Intermediate Principal Stress on Plastic Flow Strain Ratio Relationship in Plastic Deformation	1964年7月 中西不二夫, 佐藤和郎
TR-71T	Three Shear Theory of Plasticity Anisotropy Due to Plastic Deformation Influence of Intermediate Principal Stress on Plastic Flow Strain Ratio Relationship in Plastic Deformation Internal Shearing Resistances in the Three Shear Theory of Plasticity	Sep. 1964 Fujio NAKANISHI Yasuo SATO
TR-72	補助翼バズに関する一実験 Some Experiments on Control-Surface Buzz	1965年1月 中村泰治, 田辺義一
TR-72T	Some Experiments on Control-Surface Buzz	Nov. 1964 Yasuharu NAKAMURA Yoshikazu TANABE
TR-73	軸対称灘み点付近の溶融層の安定性 Stability of the Melted Layer near the Axisymmetric Stagnation Point	1964年11月 相原康彦
TR-74	遷音速パネルフラッタの研究 The Experimental and Theoretical Studies of Transonic Panel Flutter	1964年11月 石井孝雄, 柳沢三憲
TR-75	統計流体力学の初期値問題について —Hopf 特性汎関数方程式の一般解— On the Initial-Values Problem in Statistical Hydromechanics —A General Solution of the Hopf Characteristic Functional Equation—	1964年12月 細川巖
TR-76	高速軸流圧縮機の研究(N) —NACA 65 系翼型を修正した近似二重円弧翼形の動翼相対入口マッハ数 1.5までの回転翼列試験—	1965年1月 大山耕一, 松木正勝 西脇英夫, 岩部柱相 片山泰治

	An Investigation of High Speed Axial Flow Compressor(N) —Rotor Performance at Relative Inlet Mach Numbers up to 1.5 of NACA 65-Series Compressor Blades Modified Approximately to Double Circular-Arc Blades—	
TR-77	Galerkin 法の収束性について On the Convergence of Galerkin's Method	1965 年 1 月 烏海 良三
TR-78	二次元準線型双曲系の特性曲線法による数値解法 Characteristic Method for the Numerical Solution of Two-Dimensional Quasi-linear Hyperbolic Systems	1965 年 1 月 三好 甫
TR-79	引張りまたは圧縮をうける四角弹性平板の大振幅 振動の影響について Influence of Large Amplitude on Flexual Vibrations of Rectangular Elastic Plates under Initial Tension or Compression	1965 年 1 月 田寺木一, 古関昌次 泉 日出夫
TR-80	変分法直接解法において解に及ぼす束縛の数値的 影響 —薄肉開断面片持梁の純捩り振動の例— Numerical Effect of Constraints Calculus of the Direct Variational Method —In Case of Pure Torsional Vibration of Thin Walled Beams of Open Cross Section—	1965 年 1 月 塙 武敏, 越出慎一
TR-81	FRP コーティングの断熱特性 Thermal Insulation Characteristics of FRP Coating	1965 年 1 月 竹中幸彦, 江川幸一 小川鉄一
TR-82	多段軸流圧縮機の部分負荷特性の簡易計算法 A Simple Method of Calculating the Off-design Performance of Multi-Stage Axial-Flow Compressor	1965 年 2 月 松木正勝, 藤井昭一
TR-83	亜音速流中のパネルフラッタとダイバージェンス (I)一非圧縮流理論— Theoretical Study of Two-Dimensional Panel Flutter and Panel Divergence in Subsonic Flow(I)—Incompressible Flow Case—	1965 年 2 月 石井孝雄
TR-84	遷音速タービン翼列二次元試験(II) Experimental Investigation on Transonic Turbine Cascades(II)	1965 年 3 月 近藤 博, 斎田光弘 山崎紀雄
TR-85	回転翼の線型理論(II) —揚力線理論— Linearized Aerodynamic Theory of Rotor Blades(II) —Lifting-Line Theory—	1965 年 3 月 市川輝雄
TR-86	高速多段軸流圧縮機の部分負荷特性の一計算法 A Method for Predicting the Off-design Performance of Multi-Stage Axial-Flow Compressors Operating in the Transonic Flow	1965 年 5 月 松木正勝, 藤井昭一 五味光男
TR-87	亜音速流中のパネルフラッタとダイバージェンス (II)圧縮流理論(III)実験的研究 Theoretical Study of Two-Dimensional Panel Flutter and Panel Divergence in Subsonic (II)Compressible Flow Case(III)Experimental Study	1965 年 6 月 石井孝雄
TR-88	尾翼, 脊体結合構造物の地上振動試験結果に関する定性的な吟味 Qualitative Examinations on the Results of Ground Vibration Tests of Tail Wing-Fuselage Combination Structure	1965 年 6 月 塙 武敏, 越出慎一
TR-89	垂直突風および航空機の突風応答に関する実験的研究 An Experimental Investigation on Vertical Gusts and the Airplane Response	1965 年 6 月 小野幸一, 山根皓三郎

TR-90	ヒステリシス・ループの形、繰返しによる形の変化および繰返し後の塑性流動応力の上昇(第1報実験、第2報ねじりの場合の理論) The Shape of Mechanical Hysteresis Loop, Its Deformation Due to Stress Repetition and Resulting Increase in Flow Stress (Part 1. Experiment, Part 2. Theory for Torsion)	1965年7月 中西不二夫, 佐藤和郎 永井文雄
TR-91	固体プロペラントの割れ目内への火炎伝ば(I) Flame Propagation into the Gap of Solid Propellant Grain(I)	1965年7月 五代富文
TR-92	ロケット胴体をまわる超音速流の一近似解法(I) —迎角0のとき— An Approximate Calculation for Supersonic Flow Past Bodies of Rocket Vehicles(I) —Linearized Flow with Axial Symmetry—	1965年8月 谷喬
TR-93	遷音速動安定試験 Dynamic Testing at Transonic Speed	1965年10月 小橋安次郎, 河野長正 西武徳
TR-94	翼幅方向に一様な揚力分布をもつ半無限の後退翼 On the Camber Lines of Semi-Infinite Swept-back Wings which Give Uniform Spanwise Load Distribution	1965年10月 河崎俊夫
TR-95	飛行機の縦の操縦特性に関する二三の考察 A Few Comments on the Longitudinal Handling Qualities of Airplanes	1965年11月 荒木浩
TR-96T	A Generalized Functional Formalism for Turbulence	Dec. 1965 Iwao Hosokawa
TR-97	圧縮性と壁形状を考慮した軸流ターボ機械の作動 円盤理論(I) —軸対称流れ— A Theoretical Investigation of the Compressible Flow Through the Axial Turbo-Machines(I) —Non-Swirling Fluids in Ducts—	1965年12月 藤井昭一
TR-98	後退角45°、アスペクト比4.0の薄い片持翼の遷音速フラッタ特性に及ぼすテーパ比の影響の実験的研究 Some Effects of Taper Ratio on the Transonic Flutter Characteristics of a Series of Thin Cantilever Wings Having a Sweptback Angle of 45° and an Aspect Ratio 4.0	1965年12月 中井暎一, 高木俊朗 安藤泰勝
TR-99	計器のよみやすさに関する研究 A Study of Dial Legibility	1966年2月 三好範子, 岡部正典 石川澄子
TR-100	回転翼の線型理論(III) —揚力線の方程式の解法— Linearized Aerodynamic Theory of Rotor Blades(III) —Method for Solving Lifting-Line Equations—	1966年2月 市川輝雄
TR-101	航空機の着氷気象条件について(I) Meteorological Conditions on Aircraft Icing (I)	1966年2月 古関昌次, 田寺木一 泉日出夫, 太田幹雄 峰岸正勝
TR-102	ロケット胴体をまわる超音速流の一近似解法(II) —迎角のあるとき— An Approximate Calculation for Supersonic Flow Past Bodies of Rocket Vehicles(II) —Linearized Flow with Attack Angle—	1966年3月 谷喬
TR-103T	Basic Considerations for Treating Non-Equilibrium Fluids —A Functional Approach to Non-Equilibrium Statistical Mechanics—	Mar 1966 Iwao Hosokawa
TR-104	翼幅方向に一様な揚力分布をもつ三次元後退翼のそり	1966年4月 河崎俊夫, 海老原正夫

TR-135 同軸型電磁衝撃波管の作動機構 Driving Mechanism of an Electric Shock Tube with a Coaxial Gun	1967 年 5 月 松崎利一
TR-136 Nearly-Free-Molecule-Flow におけるオリフィス型圧力管 Experimental Study of an Orifice-Type Pressure Probe in Nearly-Free-Molecule Flow	1967 年 5 月 恩地瑛, 山本稀義
TR-137 梁, 板結合構造物の振動(I) On the Natural Vibration of Plate-Beam Combination Structures(I)	1967 年 6 月 越出慎一, 林洋一 塙武敏
TR-138 変厚片持板の静撓みについて Deflection Analysis of Variable Thickness Cantilever Plate	1967 年 7 月 塙武敏, 越出慎一
TR-139 多発動機付ヘリコプタの片発停止時における最適着陸操作—前進速度 0 の場合— Optimal Vertical Descent Procedure with Partial Power of Multi-Engined Helicopters —The case of Rejected Take-Off—	1967 年 8 月 古茂田真幸
TR-140 流線法によるダクト流れ Streamline-Curvature Approach to Duct-Flow Problems	1967 年 9 月 藤井昭一, 宇野威信
TR-141 マトリクス内力法による半張殻構造の応力解析について Semi-Monocoque Structures Solved Numerically by the Matrix Force Method	1967 年 10 月 川島矩郎
TR-142 動的模擬模型による姿勢のオンオフ制御実験 Experimental Studies on Some On-Off Attitude Control Systems Using a Dynamic Model	1967 年 10 月 橋口一雄, 堀川勇壮 村上力, 小川敏雄 真柳光美
TR-143 高負荷燃焼器の一次燃焼領域の研究 Experimental Studies on the Primary Zone of High-Intensity Combustors	1967 年 10 月 大塚貞吉, 鈴木邦男 相波哲朗, 石井浅五郎 広瀬健樹
TR-144 円管流の非定常熱伝達 —第2報 薄い壁の場合— Transient Heat Transfer through a Thin Circular Pipe Due to Unsteady Flow in the Pipe	1967 年 11 月 林二識, 井上建二
TR-145 ロケット用耐熱材料の研究 Study on Heat Insulation Materials for Rocket	1967 年 11 月 古田敏康
TR-146 半導体歪ゲージを用いる小型高感度加速度計の研究 Study on the Miniature Type Hight Sensitivity Accelerometer Using Semiconductor Strain Gages	1967 年 11 月 田畠淨治, 大坪孔治 滝沢実
TR-147 固体ロケット・モータのノズルにおける熱伝達の実験的研究 —プロペラント内へ添加されたアルミニウムの影響— An Experimental Investigation of Heat Transfer in the Nozzle of High-Aluminized Solid Rocket	1968 年 2 月 五代富文, 湯沢克宣 伊藤克弥, 西村久男
TR-148 失速角以上で振動する翼のまわりの流れの観察 —失速フラッタの研究(I)— Optical Observation of the Separated Flow around an Oscillating Aerofoil at High Mean Angles of Attack with Special Reference to Stall Flutter	1968 年 2 月 中村泰治, 磯貝紘二 江尻宏
TR-149 よどみ点におけるグラファイトのアブレーションの実験的研究 An Experimental Study of the Ablation of Graphite in the Stagnation Region	1968 年 2 月 相原康彦, 野村茂昭 渡辺泰夫

TR-150 強化プラスチックスの熱的物性値について (輻射加熱による測定) The Measurement of Thermal Properties of Reinforced Plastics at Temperatures up to 150°C (Infra-red Radiation Method)	1968年2月 小川鉱一, 野口義男
TR-151 空気力学的加熱の少ない極超音速飛しょう体 Minimum Heat Transfer Body at Hypersonic Speeds	1968年3月 相原康彦
TR-152 二次元二重円弧翼列の遷音速実験 High Speed Tests of Compressor Cascades With Double Circular Arc Blade Sections	1968年3月 近藤博, 萩田光弘 山崎紀雄, 古川昇
TR-153 アーク加熱衝撃波管による物体のまわりの高温気流の研究 Study of High Temperature Flow around Body Using an Arc-Driven Shock Tube	1968年4月 松崎利一, 上瀬千春
TR-154 フライングテストベッドの計画 一本体のシステムデザイン System Design of Flying Test Bed for VTOL Aircraft at National Aerospace Laboratory	1968年5月 新型航空機部
TR-155 遷音速における Control-Surface Buzz に関する研究 An Investigation on Control-Surface Buzz at Transonic Speeds	1968年5月 中村泰治
TR-156 二次元湾曲ジェットの相似構造と乱流混合における曲率の研究 Effects of Curvature on the Similar Structure and Turbulent Mixing of Two-dimensional Curved Jets	1968年5月 遠藤浩
TR-157 電子線密度測定法による低密度極超音速流の実験的研究 Experimental Study of Low Density Hypersonic Flow by Using Electron-Beam Densitometry	1968年6月 和田勇, 曽我國男
TR-158 局所凸線形位相空間内の非線形初期値問題に対する近似について On Approximations for Nonlinear Cauchy Problems in Locally Convex Spaces	1968年6月 小島清史
TR-159 T型結合板の振動 The Vibration of T-Shape Plates Structure	1968年7月 塙武敏, 築地恒夫 越出慎一
TR-160 梁, 板結合構造物の振動 (II) On the Natural Vibration of Plate-Beam Combination Structures (II)	1968年8月 塙武敏, 築地恒夫 多田保夫, 越出慎一 林洋一, 日下和夫
TR-161 宇宙飛しょう体の直接式最適誘導法 An Optimal Explicit Guidance Equation for Space Vehicle	1968年8月 新田慶治, 松島弘一 大坪孔治, 志甫徹
TR-162 よどみ点領域での非定常空力加熱の測定 Measurements of Unsteady Aerodynamic Heating at Stagnation Region	1968年9月 野村茂昭
TR-163 双発プロペラ STOL 機の安定操縦性に関する考察 Investigation on the Stability and Control Characteristics of a Twin-propeller STOL Airplane	1968年9月 別府護郎
TR-164 熱伝導を考慮した空力加熱による薄肉機体外板の温度上昇とその電気抵抗アナログ回路 Investigation of the Streamwise Heat Conduction Effect on the Transient Aerodynamic Heating of Thin-skinned Bodies by the Resistance Network Analog Method	1968年10月 小川鉱一
TR-165 有限要素法による箱型梁の解析 Applications of the Finite Element Method to Box Beams	1968年11月 三本木茂夫

TR-166	シンバルエンジン駆動用バルブの基礎的解析 Fundamental Analyses of DPF Valves for Controlling a Gimbal-Engine	1968 年 11 月 舟石 雄, 畠山茂樹
TR-167	アブレーションによる空力加熱の減少の測定 Measurements of Heat Transfer Reduction by Ablation	1968 年 11 月 野村茂昭
TR-168	角度測定周波数測定併用のトラッキングシステム の計算処理に関する研究 On the Orbit Determination Procedures for the Doppler Frequency Measurement with Angular Measurement Tracking System	1968 年 11 月 鳥海良三, 松本一夫 樋口一雄, 戸川隼人 木村武雄
TR-169	VTOL 機操縦研究設備 Design and Construction of VTOL Flight Simulator System	1968 年 11 月 樋口一雄, 百名盛之 三好範子, 岡部正典 山本六郎, 川原弘靖
TR-170	STOL 機の縦の自動安定制御方式に関する研究 (I) 姿勢制御方式の解析 System Studies on Automatic Longitudinal Stabilization Control Systems for STOL Aircraft. Part 1 Automatic Attitude Control Systems.	1968 年 12 月 堀川勇壮, 森 幹彦
TR-171 T	Simple Flow Characteristics Across a Strong Shock Wave	Feb. 1969 Kenneth K. Yoshikawa
TR-172	高速における円錐体および三角翼の動安定微係数 の測定 Measurement of Dynamic Stability Derivatives Cones and Delta-Wings at High Speed	1969 年 2 月 柳沢三憲
TR-173 T	Coupling Effect of Radiative Heat on Convective Heat Transfer	Feb. 1969 Kenneth K. Yoshikawa
TR-174	Navier-Stokes 方程式に対する差分法 Difference Method for Navier-Stokes Equation	1969 年 4 月 三好 甫
TR-175	低レイノルズ数における NACA 0012 翼型の失速特性について —失速フラッタの研究— Stalling Characteristics of the NACA 0012 Aerofoil Section at Low Reynolds Numbers	1969 年 6 月 中村泰治, 磯貝紘二 江尻 宏
TR-176	軸流回転機の翼の振動について (I) 固有振動数, 振動形および振動応力分布 On the Vibration of Axial-flow Turbomachine Blades (I) Natural Frequency, Modes and Vibratory Stress Distribution	1969 年 7 月 宮地敏雄, 星谷昌二 祖父江 靖, 細干三郎 岩部柱相, 武田克巳
TR-177	固体ロケットモータの推力大きさ制御の研究 —特性と小型モータによる実験— Thrust Magnitude Control of Solid Rocket Motors	1969 年 7 月 五代富文, 湯沢克宜 伊藤克弥, 西村久雄
TR-178	測度最大の可制御領域を与える二次形式評価関数 の最適重みマトリクスに対する必要条件 Necessary Conditions for the Optimal Weighting Matrices of Quadratic Performance Index to Maximize the Measure of the Controllable Set	1969 年 7 月 川幡長勝
TR-179	テフロンの非定常アブレーションの測定 Measurements of Transient Ablation of Teflon	1969 年 8 月 野村茂昭

---

## 航空宇宙技術研究所報告180号

昭和44年8月発行

発行所 航空宇宙技術研究所

東京都調布市深大寺町1880

電話武藏野三鷹(0422)44-9171(代表) 182

印刷所 株式会社 東京プレス

東京都板橋区桜川2~27~12

---

